

# **ANNEXE E**

---

## **Données et résultats des modélisations des émissions atmosphériques :**

- E-1 – Tableau topographique
- E-2 – Données sur les bâtiments
- E-3 – Données d'émission
- E-4 – Résultats – Particules
- E-5 – Résultats – NH<sub>3</sub>
- E-6 – Rose des vents

## ANNEXE E-1

### Données topographiques- grille de modélisation

y/x	253880	253980	254080	254180	254280	254380	254480	254580	254680	254780	254880	254980	255080	255180	255280	255380	255480
5367778	55	59	60	60	58	55	52	47	40	42	42	26	39	46	48	48	43
5367678	50	56	60	59	59	60	56	52	50	40	39	46	46	52	53	52	50
5367578	50	56	60	66	70	64	57	52	50	43	52	61	61	60	60	62	49
5367478	61	51	56	68	73	66	59	52	53	52	60	60	59	60	59	57	60
5367378	63	60	54	60	61	63	62	54	58	61	60	65	85	77	90	81	78
5367278	65	60	60	60	67	81	81	66	51	60	60	69	83	91	93	91	90
5367178	68	66	66	69	77	80	80	74	57	85	60	67	88	90	90	92	92
5367078	81	79	79	77	85	87	87	80	59	60	60	73	85	90	91	92	95
5366978	83	87	90	88	91	90	90	84	60	60	60	71	87	91	92	94	96
5366878	91	90	90	90	90	91	90	81	63	68	64	79	90	91	93	95	96
5366778	90	90	90	90	90	90	90	85	84	70	70	92	90	91	94	96	98
5366678	90	90	90	90	90	90	90	90	90	88	90	90	90	92	95	97	99
5366578	90	90	90	90	91	91	92	92	91	90	91	91	91	94	97	98	100
5366478	90	90	90	90	92	93	94	94	94	93	94	94	95	97	99	100	100
5366378	91	91	92	91	93	95	96	97	97	97	97	98	99	100	100	100	100
5366278	93	95	95	96	97	98	99	99	100	100	100	100	100	100	100	101	101
5366178	97	99	99	99	100	100	100	100	100	100	100	100	100	101	101	101	102
5366078	101	100	100	100	100	100	100	100	100	100	100	100	101	101	102	102	102
5365978	100	101	100	100	100	100	100	100	100	100	100	100	101	102	102	103	103
5365878	102	102	101	100	100	100	100	100	100	100	100	101	102	103	103	104	105
5365778	104	105	99	99	100	100	101	101	101	102	102	103	103	104	104	105	105
5365678	79	80	90	96	99	101	102	102	103	103	104	104	105	105	105	106	106
5365578	80	80	83	90	96	99	101	104	104	104	105	106	106	107	107	107	108
5365478	80	80	81	88	92	97	101	105	106	106	107	107	107	108	108	109	109
5365378	78	80	80	84	92	99	106	107	107	108	108	109	109	109	110	110	109
5365278	82	80	80	83	95	101	104	107	109	110	109	110	110	110	110	110	110
5365178	93	79	80	87	104	108	109	110	110	110	110	111	112	112	112	112	112
5365078	105	110	99	109	110	110	110	110	111	111	112	112	113	114	115	115	116
5364978	110	110	111	110	110	110	110	110	111	112	113	114	115	117	118	118	118
5364878	110	110	112	112	112	113	112	113	114	115	116	117	118	119	120	121	123
5364778	111	110	111	112	114	116	120	118	117	117	118	118	119	120	121	124	127
5364678	112	111	113	114	116	118	120	120	120	120	120	120	120	120	122	127	130
5364578	113	113	114	116	117	119	120	120	120	120	120	120	120	119	125	129	134
5364478	115	115	116	117	119	120	120	120	120	120	120	120	119	121	126	133	141
5364378	117	117	117	118	120	120	120	120	120	120	120	119	121	124	127	130	138
5364278	118	118	118	119	120	120	120	120	120	120	120	120	122	125	132	140	140
5364178	120	119	119	120	120	120	120	120	120	120	120	122	124	128	128	140	140
5364078	120	119	120	120	120	120	120	120	120	121	122	124	126	128	129	133	138
5363978	120	120	121	122	121	121	121	120	121	122	124	125	127	129	130	132	133
5363878	120	120	120	121	122	122	123	123	123	124	125	127	128	130	130	130	130
5363778	120	120	121	122	123	124	125	125	125	126	127	128	129	130	130	130	130
5363678	120	120	122	123	125	126	127	128	128	128	128	129	130	130	130	130	130
5363578	120	120	123	126	128	128	130	130	129	129	129	130	130	130	130	130	130





7953 rap annexe E-2.txt

BUILDING PROFILE INPUT PROGRAM (BPIP)  
 Dated 95086  
 BREEZE WAKE/BPIP-32  
 IBM-PC VERSION (1.22)  
 (C) COPYRIGHT 1994, 1995 TRINITY CONSULTANTS, INC.

RUN INFORMATION  
 \*\*\*\*\*

Building Data File:

Source Info. File:

BPIP Run File: C:\TRINITY\ALCAN\ALC\_P00.BPI

Output List File: C:\TRINITY\ALCAN\ALC\_P00.BPO

Output Wake File: C:\TRINITY\ALCAN\ALC\_P00.WAK

Output EPA File: C:\TRINITY\ALCAN\ALC\_P00.EPA

Run began on: 7/06/2001 at 11:28:58  
 \*\*\*\*\*

Usine de brasques

Plant North: 0.00

Calculations for the ISCST2 model with 36 radial directions.

Input Buildings: 11

Building ID	Building #	Elev. (m)	Tier #	Tier Ref.	Tier hgt	# of corners	Corner X (m)	Corner Y (m)
brasque	1	111.50	1	1	12.00	8	255955.500	5365775.000
							256056.000	5365734.000
							256044.000	5365703.000
							256064.000	5365695.000
							256057.000	5365679.000
							255957.000	5365719.000
							255962.500	5365734.000
							255942.000	5365742.000

Building ID	Building #	Elev. (m)	Tier #	Tier Ref.	Tier hgt	# of corners	Corner X (m)	Corner Y (m)
310	2	111.50	1	7	23.50	8	255938.000	5365699.000
							255975.000	5365705.000
							255988.000	5365700.000
							255989.000	5365700.000
							255989.000	5365693.000
							255977.000	5365691.000
							255980.000	5365675.000
							255941.000	5365669.000

----- Building ----- Tier Tier Tier # of Corner coordinates

ID	#	Elev. (m)	7953 #	rap Ref.	annexe hgt	E-2.txt corners	X (m)	Y (m)
304-8-9	3	111.50	1	13	21.50	4	255730.000 255889.000 255911.000 255748.000	5365770.000 5365793.000 5365646.000 5365627.000

----- ID	Building #	----- Elev. (m)	Tier #	Tier Ref.	Tier hgt	# of corners	Corner X (m)	coordinates Y (m)
318-19-	4	111.50	1	19	18.00	4	255913.000 255899.000 256178.000 256194.000	5365520.000 5365619.000 5365656.000 5365557.000

----- ID	Building #	----- Elev. (m)	Tier #	Tier Ref.	Tier hgt	# of corners	Corner X (m)	coordinates Y (m)
305	5	111.50	1	25	38.00	6	255894.000 255892.000 255909.000 255908.000 255917.000 255921.000	5365661.000 5365680.000 5365682.000 5365691.000 5365692.000 5365665.000

----- ID	Building #	----- Elev. (m)	Tier #	Tier Ref.	Tier hgt	# of corners	Corner X (m)	coordinates Y (m)
608	6	111.50	1	31	10.00	8	256090.000 256085.000 256115.000 256117.000 256154.000 256155.000 256119.000 256120.000	5365750.000 5365785.000 5365790.000 5365774.000 5365778.000 5365766.000 5365762.000 5365753.000

----- ID	Building #	----- Elev. (m)	Tier #	Tier Ref.	Tier hgt	# of corners	Corner X (m)	coordinates Y (m)
brasque4	7	111.50	1	37	24.00	4	256056.000 256049.500 256045.400 256052.000	5365734.000 5365736.500 5365726.000 5365723.500

----- ID	Building #	----- Elev. (m)	Tier #	Tier Ref.	Tier hgt	# of corners	Corner X (m)	coordinates Y (m)
brasque2	8	111.50	1	43	16.00	6	255955.400 256001.800 255982.500	5365775.000 5365756.000 5365708.500

## 7953 rap annexe E-2.txt

255957.000 5365719.000  
 255962.600 5365734.000  
 255942.000 5365742.000

----- Building ID	----- #	----- Elev. (m)	Tier #	Tier Ref.	Tier hgt	# of corners	Corner X (m)	coordinates Y (m)
brasque3	9	111.50	1	49	18.00	4	256001.800	5365756.000
							256015.900	5365750.500
							255996.000	5365703.000
							255982.500	5365708.500

----- Building ID	----- #	----- Elev. (m)	Tier #	Tier Ref.	Tier hgt	# of corners	Corner X (m)	coordinates Y (m)
B 426	10	111.50	1	55	16.80	4	256284.000	5365715.000
							256283.000	5365725.000
							256257.000	5365721.000
							256258.000	5365711.000

----- Building ID	----- #	----- Elev. (m)	Tier #	Tier Ref.	Tier hgt	# of corners	Corner X (m)	coordinates Y (m)
brasque5	11	111.50	1	61	20.00	4	255957.000	5365719.000
							255960.000	5365726.000
							255986.000	5365716.000
							255983.000	5365709.000

Input Stacks: 17

Stack #	Stack Name	Stack Height	Stack Elev.	Stack X (m)	coordinates Y (m)
1	210SX02	24.00	111.50	255998.000	5365750.000
2	210SX03	24.00	111.50	255976.000	5365746.000
3	210SX04	30.00	111.50	255980.000	5365712.000
4	320SX01	30.00	111.50	256004.000	5365736.000
5	330SX01	27.00	111.50	256051.000	5365734.000
6	380SX03	27.00	111.50	256000.000	5365728.000
7	210FA04	16.20	111.50	255988.000	5365751.000
8	210FA05	16.20	111.50	255981.000	5365732.000
9	210FA06	20.20	111.50	255971.000	5365717.000
10	210FA07	20.20	111.50	255979.000	5365715.000
11	300FA02	18.20	111.50	256006.000	5365748.000
12	300FA03	18.20	111.50	256000.000	5365733.000
13	300FA04	18.20	111.50	255995.000	5365720.000
14	300FA05	12.20	111.50	256022.000	5365742.000
15	300FA06	12.20	111.50	256016.000	5365729.000
16	300FA07	12.20	111.50	256009.000	5365712.000
17	CHAUDIER	41.00	111.50	256268.000	5365736.000

Stack number: 1 Name: 210SX02

Structure producing the greatest GEP stack height within 5L: ( 25)

Height: 38.00 Width: 31.55 GEP: 85.33

7953 rap annexe E-2.txt

Direction Specific Building Downwash

Degree	Height	Width	GEP	Method	Dominant Structure
10	23.50	51.27	58.75	S-S	( 7)
20	23.50	49.98	58.75	S-S	( 7)
30	23.50	48.37	58.75	S-S	( 7)
40	38.00	31.55	85.33	S-S	( 25)
50	38.00	30.13	83.20	S-S	( 25)
60	38.00	29.02	81.52	S-S	( 25)
70	21.50	178.43	53.75	S-S	( 13)
80	21.50	153.55	53.75	S-S	( 13)
90	21.50	166.00	53.75	S-S	( 13)
100	21.50	187.96	53.75	S-S	( 13)
110	21.50	204.21	53.75	S-S	( 13)
120	18.00	53.07	45.00	S-S	( 49)
130	18.00	53.64	45.00	S-S	( 49)
140	18.00	52.58	45.00	S-S	( 49)
150	18.00	49.93	45.00	S-S	( 49)
160	18.00	45.75	45.00	S-S	( 49)
170	18.00	40.19	45.00	S-S	( 49)
180	23.50	51.00	58.75	S-S	( 7)
190	21.50	268.44	53.75	S-S	( 25 7 13)
200	21.50	269.72	53.75	S-S	( 25 7 13)
210	21.50	264.01	53.75	S-S	( 25 7 13)
220	23.50	47.60	58.75	S-S	( 7)
230	23.50	45.38	58.75	S-S	( 7)
240	23.50	49.86	58.75	S-S	( 7 25)
250	21.50	178.43	53.75	S-S	( 25 7 13)
260	21.50	153.55	53.75	S-S	( 25 7 13)
270	21.50	166.00	53.75	S-S	( 25 7 13)
280	21.50	187.96	53.75	S-S	( 25 7 13)
290	21.50	204.21	53.75	S-S	( 25 7 13)



7953 rap annexe E-2.txt

300	18.00	53.07	45.00	S-S	( 49)
310	18.00	53.64	45.00	S-S	( 49)
320	18.00	52.58	45.00	S-S	( 49)
330	18.00	49.93	45.00	S-S	( 49)
340	18.00	45.75	45.00	S-S	( 49)
350	18.00	40.19	45.00	S-S	( 49)
360	23.50	51.00	58.75	S-S	( 7)

Stack number: 2 Name: 210SX03

Structure producing the greatest GEP stack height within 5L: ( 25)

Height: 38.00 Width: 32.41 GEP: 86.62

Direction Specific Building Downwash

Degree	Height	Width	GEP	Method	Dominant Structure
10	23.50	51.27	58.75	S-S	( 7)
20	23.50	49.98	58.75	S-S	( 7)
30	38.00	32.41	86.62	S-S	( 25)
40	38.00	31.86	85.79	S-S	( 25)
50	38.00	30.13	83.20	S-S	( 25)
60	38.00	29.02	81.52	S-S	( 25)
70	21.50	178.43	53.75	S-S	( 13)
80	21.50	153.55	53.75	S-S	( 13)
90	21.50	166.00	53.75	S-S	( 13)
100	21.50	187.96	53.75	S-S	( 13)
110	21.50	204.21	53.75	S-S	( 13)
120	21.50	214.26	53.75	S-S	( 13)
130	18.00	53.64	45.00	S-S	( 49)
140	18.00	52.58	45.00	S-S	( 49)
150	23.50	57.07	58.75	S-S	( 7)
160	23.50	55.71	58.75	S-S	( 7)
170	23.50	52.65	58.75	S-S	( 7)
180	23.50	51.00	58.75	S-S	( 7)

7953 rap annexe E-2.txt

190	23.50	51.27	58.75	S-S	( 7)
200	23.50	49.98	58.75	S-S	( 7)
210	23.50	48.37	58.75	S-S	( 7)
220	23.50	47.60	58.75	S-S	( 7)
230	23.50	45.38	58.75	S-S	( 7)
240	21.50	207.27	53.75	S-S	( 25 7 13)
250	21.50	178.43	53.75	S-S	( 25 7 13)
260	21.50	153.55	53.75	S-S	( 25 7 13)
270	21.50	166.00	53.75	S-S	( 25 7 13)
280	21.50	187.96	53.75	S-S	( 13 25)
290	21.50	204.21	53.75	S-S	( 13)
300	21.50	214.26	53.75	S-S	( 13)
310	18.00	53.64	45.00	S-S	( 49)
320	18.00	52.58	45.00	S-S	( 49)
330	23.50	57.07	58.75	S-S	( 7)
340	23.50	55.71	58.75	S-S	( 7)
350	23.50	52.65	58.75	S-S	( 7)
360	23.50	51.00	58.75	S-S	( 7)

Stack number: 3 Name: 210SX04

Structure producing the greatest GEP stack height within 5L: ( 25)

Height: 38.00 width: 29.79 GEP: 82.69

Direction Specific Building Downwash

Degree	Height	Width	GEP	Method	Dominant Structure
10	23.50	51.27	58.75	S-S	( 7)
20	23.50	49.98	58.75	S-S	( 7)
30	23.50	48.37	58.75	S-S	( 7)
40	38.00	29.79	82.69	S-S	( 25)
50	38.00	29.79	82.69	S-S	( 25)
60	38.00	29.02	81.52	S-S	( 25)
70	38.00	28.88	81.32	S-S	( 25)

## 7953 rap annexe E-2.txt

80	38.00	27.86	79.79	S-S	( 25)
90	23.50	36.00	58.75	S-S	( 7)
100	23.50	41.36	58.75	S-S	( 7)
110	23.50	45.55	58.75	S-S	( 7)
120	23.50	50.85	58.75	S-S	( 7)
130	23.50	54.60	58.75	S-S	( 7)
140	23.50	56.70	58.75	S-S	( 7)
150	23.50	57.07	58.75	S-S	( 7)
160	23.50	55.71	58.75	S-S	( 7)
170	23.50	52.65	58.75	S-S	( 7)
180	23.50	51.00	58.75	S-S	( 7)
190	23.50	51.27	58.75	S-S	( 7)
200	23.50	49.98	58.75	S-S	( 7)
210	23.50	48.37	58.75	S-S	( 7)
220	38.00	29.79	82.69	S-S	( 25)
230	23.50	45.38	58.75	S-S	( 7)
240	23.50	41.78	58.75	S-S	( 7)
250	23.50	36.92	58.75	S-S	( 7)
260	23.50	30.93	58.75	S-S	( 7)
270	23.50	36.00	58.75	S-S	( 7)
280	23.50	41.36	58.75	S-S	( 7)
290	23.50	45.55	58.75	S-S	( 7)
300	23.50	50.85	58.75	S-S	( 7)
310	23.50	54.60	58.75	S-S	( 7)
320	23.50	56.70	58.75	S-S	( 7)
330	23.50	57.07	58.75	S-S	( 7)
340	23.50	55.71	58.75	S-S	( 7)
350	23.50	52.65	58.75	S-S	( 7)
360	23.50	51.00	58.75	S-S	( 7)

Stack number: 4 Name: 320SX01

7953 rap annexe E-2.txt  
 Structure producing the greatest GEP stack height within 5L: ( 25)

Height: 38.00 width: 30.24 GEP: 83.36

Direction Specific Building Downwash

Degree	Height	Width	GEP	Method	Dominant Structure
10	23.50	51.27	58.75	S-S	( 7)
20	23.50	49.98	58.75	S-S	( 7)
30	23.50	48.37	58.75	S-S	( 7)
40	23.50	47.60	58.75	S-S	( 7)
50	38.00	30.13	83.20	S-S	( 25)
60	38.00	29.02	81.52	S-S	( 25)
70	38.00	28.88	81.32	S-S	( 25)
80	21.50	153.55	53.75	S-S	( 13)
90	21.50	166.00	53.75	S-S	( 13)
100	21.50	187.96	53.75	S-S	( 13)
110	21.50	204.21	53.75	S-S	( 13)
120	21.50	214.26	53.75	S-S	( 13)
130	18.00	53.64	45.00	H-S	( 49)
140	18.00	52.58	45.00	H-S	( 49)
150	18.00	49.93	45.00	H-S	( 49)
160	18.00	45.75	45.00	H-S	( 49)
170	18.00	40.19	45.00	H-S	( 49)
180	18.00	33.40	45.00	H-S	( 49)
190	23.50	51.27	58.75	S-S	( 7)
200	23.50	49.98	58.75	S-S	( 7)
210	23.50	48.37	58.75	S-S	( 7)
220	23.50	47.60	58.75	S-S	( 7)
230	23.50	45.38	58.75	S-S	( 7)
240	23.50	41.78	58.75	S-S	( 7)
250	23.50	39.66	58.75	S-S	( 7 25)
260	21.50	153.55	53.75	S-S	( 25 7 13)
270	21.50	166.00	53.75	S-S	( 25 7 13)

		7953 rap	annexe E-2.txt		
280	21.50	187.96	53.75	S-S	( 25 7 13)
290	21.50	204.21	53.75	S-S	( 25 7 13)
300	21.50	214.26	53.75	S-S	( 13)
310	18.00	53.64	45.00	H-S	( 49)
320	18.00	52.58	45.00	H-S	( 49)
330	18.00	49.93	45.00	H-S	( 49)
340	18.00	45.75	45.00	H-S	( 49)
350	18.00	40.19	45.00	H-S	( 49)
360	18.00	33.40	45.00	H-S	( 49)

Stack number: 5 Name: 330SX01

Structure producing the greatest GEP stack height within 5L: ( 25)

Height: 38.00 Width: 29.07 GEP: 81.60

#### Direction Specific Building Downwash

Degree	Height	Width	GEP	Method	Dominant Structure
10	24.00	9.05	37.57	S-S	( 37)
20	24.00	7.22	34.84	S-S	( 37)
30	24.00	8.67	37.00	S-S	( 37)
40	24.00	10.27	39.41	S-S	( 37)
50	23.50	45.38	58.75	S-S	( 7)
60	38.00	29.02	81.52	S-S	( 25)
70	38.00	28.88	81.32	S-S	( 25)
80	21.50	153.55	53.75	S-S	( 25 7 13)
90	21.50	166.00	53.75	S-S	( 25 7 13)
100	21.50	187.96	53.75	S-S	( 25 7 13)
110	21.50	204.21	53.75	S-S	( 25 7 13)
120	18.00	53.07	45.00	S-S	( 49)
130	24.00	12.94	43.41	S-S	( 37)
140	24.00	13.26	43.89	S-S	( 37)
150	24.00	13.18	43.77	S-S	( 37)
160	24.00	12.70	43.05	S-S	( 37)

		7953 rap	annexe E-2.txt		
170	24.00	11.83	41.74	S-S	( 37)
180	24.00	10.60	39.90	S-S	( 37)
190	24.00	9.05	37.57	S-S	( 37)
200	24.00	7.22	34.84	S-S	( 37)
210	24.00	8.67	37.00	S-S	( 37)
220	24.00	10.27	39.41	S-S	( 37)
230	18.00	51.92	45.00	S-S	( 7 49 61)
240	18.00	43.00	45.00	S-S	( 49)
250	18.00	47.82	45.00	S-S	( 49)
260	18.00	51.19	45.00	S-S	( 49)
270	18.00	53.00	45.00	S-S	( 49)
280	24.00	12.37	42.55	S-S	( 37)
290	24.00	11.36	41.04	S-S	( 37)
300	18.00	53.07	45.00	S-S	( 49)
310	24.00	12.94	43.41	S-S	( 37)
320	24.00	13.26	43.89	S-S	( 37)
330	24.00	13.18	43.77	S-S	( 37)
340	24.00	12.70	43.05	S-S	( 37)
350	24.00	11.83	41.74	S-S	( 37)
360	24.00	10.60	39.90	S-S	( 37)

Stack number: 6 Name: 380SX03

Structure producing the greatest GEP stack height within 5L: ( 25)

Height: 38.00 width: 29.79 GEP: 82.69

#### Direction Specific Building Downwash

Degree	Height	Width	GEP	Method	Dominant Structure
10	23.50	51.27	58.75	S-S	( 7)
20	23.50	49.98	58.75	S-S	( 7)
30	23.50	48.37	58.75	S-S	( 7)
40	23.50	47.60	58.75	S-S	( 7)
50	38.00	29.79	82.69	S-S	( 25)

		7953 rap annexe E-2.txt			
60	38.00	29.02	81.52	S-S	( 25)
70	38.00	28.88	81.32	S-S	( 25)
80	21.50	153.55	53.75	S-S	( 13)
90	21.50	166.00	53.75	S-S	( 13)
100	21.50	187.96	53.75	S-S	( 13)
110	21.50	204.21	53.75	S-S	( 13)
120	21.50	214.26	53.75	S-S	( 13)
130	18.00	53.64	45.00	S-S	( 49)
140	18.00	52.58	45.00	S-S	( 49)
150	18.00	49.93	45.00	S-S	( 49)
160	18.00	45.75	45.00	S-S	( 49)
170	18.00	40.19	45.00	S-S	( 49)
180	23.50	51.00	58.75	S-S	( 7)
190	23.50	51.27	58.75	S-S	( 7)
200	23.50	49.98	58.75	S-S	( 7)
210	23.50	48.37	58.75	S-S	( 7)
220	23.50	47.60	58.75	S-S	( 7)
230	23.50	45.38	58.75	S-S	( 7)
240	23.50	41.78	58.75	S-S	( 7)
250	23.50	36.92	58.75	S-S	( 7)
260	21.50	153.55	53.75	S-S	( 25 7 13)
270	21.50	166.00	53.75	S-S	( 25 7 13)
280	21.50	187.96	53.75	S-S	( 25 7 13)
290	21.50	204.21	53.75	S-S	( 25 7 13)
300	21.50	214.26	53.75	S-S	( 13)
310	18.00	53.64	45.00	S-S	( 49)
320	18.00	52.58	45.00	S-S	( 49)
330	18.00	49.93	45.00	S-S	( 49)
340	18.00	45.75	45.00	S-S	( 49)
350	18.00	40.19	45.00	S-S	( 49)
360	23.50	51.00	58.75	S-S	( 7)

7953 rap annexe E-2.txt

Stack number: 7 Name: 210FA04

Structure producing the greatest GEP stack height within 5L: ( 25)

Height: 38.00 Width: 32.09 GEP: 86.13

Direction Specific Building Downwash

Degree	Height	Width	GEP	Method	Dominant Structure
10	23.50	51.27	58.75	S-S	( 7)
20	23.50	49.98	58.75	S-S	( 7)
30	38.00	32.09	86.13	S-S	( 25)
40	38.00	31.86	85.79	S-S	( 25)
50	38.00	30.13	83.20	S-S	( 25)
60	38.00	29.02	81.52	S-S	( 25)
70	21.50	178.43	53.75	S-S	( 13)
80	21.50	153.55	53.75	S-S	( 13)
90	21.50	166.00	53.75	S-S	( 13)
100	21.50	187.96	53.75	S-S	( 13)
110	21.50	204.21	53.75	S-S	( 13)
120	18.00	53.07	45.00	S-S	( 49)
130	18.00	53.64	45.00	S-S	( 49)
140	18.00	52.58	45.00	S-S	( 49)
150	18.00	49.93	45.00	S-S	( 49)
160	18.00	45.75	45.00	S-S	( 49)
170	23.50	52.65	58.75	S-S	( 7)
180	23.50	51.00	58.75	S-S	( 7)
190	21.50	268.44	53.75	S-S	( 25 7 13)
200	21.50	269.72	53.75	S-S	( 25 7 13)
210	23.50	48.37	58.75	S-S	( 7)
220	23.50	47.60	58.75	S-S	( 7)
230	23.50	45.38	58.75	S-S	( 7)
240	21.50	207.27	53.75	S-S	( 25 7 13)
250	21.50	178.43	53.75	S-S	( 25 7 13)
260	21.50	153.55	53.75	S-S	( 25 7 13)



7953 rap annexe E-2.txt

270	21.50	166.00	53.75	S-S	( 25 7 13)
280	21.50	187.96	53.75	S-S	( 25 7 13)
290	21.50	204.21	53.75	S-S	( 13)
300	18.00	53.07	45.00	S-S	( 49)
310	18.00	53.64	45.00	S-S	( 49)
320	18.00	52.58	45.00	S-S	( 49)
330	18.00	49.93	45.00	S-S	( 49)
340	18.00	45.75	45.00	S-S	( 49)
350	23.50	52.65	58.75	S-S	( 7)
360	23.50	51.00	58.75	S-S	( 7)

Stack number: 8 Name: 210FA05

Structure producing the greatest GEP stack height within 5L: ( 25)

Height: 38.00 Width: 31.59 GEP: 85.38

Direction Specific Building Downwash

Degree	Height	Width	GEP	Method	Dominant Structure
10	23.50	51.27	58.75	S-S	( 7)
20	23.50	49.98	58.75	S-S	( 7)
30	23.50	48.37	58.75	S-S	( 7)
40	38.00	31.59	85.38	S-S	( 25)
50	38.00	30.13	83.20	S-S	( 25)
60	38.00	29.02	81.52	S-S	( 25)
70	38.00	28.88	81.32	S-S	( 25)
80	21.50	153.55	53.75	S-S	( 13)
90	21.50	166.00	53.75	S-S	( 13)
100	21.50	187.96	53.75	S-S	( 13)
110	21.50	204.21	53.75	S-S	( 13)
120	21.50	214.26	53.75	S-S	( 13)
130	20.00	64.93	50.00	S-S	( 7 61)
140	20.00	20.29	50.00	S-S	( 61)
150	23.50	57.07	58.75	S-S	( 7)

7953 rap annexe E-2.txt

160	23.50	55.71	58.75	S-S	( 7)
170	23.50	52.65	58.75	S-S	( 7)
180	23.50	51.00	58.75	S-S	( 7)
190	23.50	51.27	58.75	S-S	( 7)
200	23.50	49.98	58.75	S-S	( 7)
210	23.50	48.37	58.75	S-S	( 7)
220	23.50	47.60	58.75	S-S	( 7)
230	23.50	45.38	58.75	S-S	( 7)
240	23.50	41.78	58.75	S-S	( 7)
250	21.50	178.43	53.75	S-S	( 25 7 13)
260	21.50	153.55	53.75	S-S	( 25 7 13)
270	21.50	166.00	53.75	S-S	( 25 7 13)
280	21.50	187.96	53.75	S-S	( 25 7 13)
290	21.50	204.21	53.75	S-S	( 13)
300	21.50	214.26	53.75	S-S	( 13)
310	20.00	64.93	50.00	S-S	( 7 61)
320	20.00	20.29	50.00	S-S	( 61)
330	23.50	57.07	58.75	S-S	( 7)
340	23.50	55.71	58.75	S-S	( 7)
350	23.50	52.65	58.75	S-S	( 7)
360	23.50	51.00	58.75	S-S	( 7)

Stack number: 9 Name: 210FA06

Structure producing the greatest GEP stack height within 5L: ( 25)

Height: 38.00 width: 31.28 GEP: 84.92

Direction Specific Building Downwash

Degree	Height	Width	GEP	Method	Dominant Structure
10	23.50	51.27	58.75	S-S	( 7)
20	23.50	49.98	58.75	S-S	( 7)
30	23.50	48.37	58.75	S-S	( 7)
40	38.00	31.28	84.92	S-S	( 25)

## 7953 rap annexe E-2.txt

50	38.00	30.13	83.20	S-S	( 25)
60	38.00	29.02	81.52	S-S	( 25)
70	38.00	28.88	81.32	S-S	( 25)
80	21.50	153.55	53.75	S-S	( 13)
90	21.50	166.00	53.75	S-S	( 13)
100	23.50	41.36	58.75	S-S	( 7)
110	23.50	45.55	58.75	S-S	( 7)
120	23.50	50.85	58.75	S-S	( 7)
130	23.50	54.60	58.75	S-S	( 7)
140	23.50	56.70	58.75	S-S	( 7)
150	23.50	57.07	58.75	S-S	( 7)
160	23.50	55.71	58.75	S-S	( 7)
170	23.50	52.65	58.75	S-S	( 7)
180	23.50	51.00	58.75	S-S	( 7)
190	23.50	51.27	58.75	S-S	( 7)
200	23.50	49.98	58.75	S-S	( 7)
210	23.50	48.37	58.75	S-S	( 7)
220	38.00	31.28	84.92	S-S	( 25)
230	38.00	30.13	83.20	S-S	( 25)
240	23.50	41.78	58.75	S-S	( 7)
250	23.50	36.92	58.75	S-S	( 7)
260	21.50	153.55	53.75	S-S	( 25 7 13)
270	21.50	166.00	53.75	S-S	( 25 7 13)
280	23.50	41.36	58.75	S-S	( 7)
290	23.50	45.55	58.75	S-S	( 7)
300	23.50	50.85	58.75	S-S	( 7)
310	23.50	54.60	58.75	S-S	( 7)
320	23.50	56.70	58.75	S-S	( 7)
330	23.50	57.07	58.75	S-S	( 7)
340	23.50	55.71	58.75	S-S	( 7)
350	23.50	52.65	58.75	S-S	( 7)

360            23.50            7953 rap annexe E-2.txt  
    51.00            58.75            S-S            ( 7)

Stack number:    10    Name: 210FA07

Structure producing the greatest GEP stack height within 5L: ( 25)

Height:    38.00    Width:            30.29    GEP:            83.44

Direction Specific Building Downwash

Degree	Height	Width	GEP	Method	Dominant Structure
10	23.50	51.27	58.75	S-S	( 7)
20	23.50	49.98	58.75	S-S	( 7)
30	23.50	48.37	58.75	S-S	( 7)
40	38.00	30.29	83.44	S-S	( 25)
50	38.00	30.13	83.20	S-S	( 25)
60	38.00	29.02	81.52	S-S	( 25)
70	38.00	28.88	81.32	S-S	( 25)
80	38.00	27.86	79.79	S-S	( 25)
90	23.50	36.00	58.75	S-S	( 7)
100	23.50	41.36	58.75	S-S	( 7)
110	23.50	45.55	58.75	S-S	( 7)
120	23.50	50.85	58.75	S-S	( 7)
130	23.50	54.60	58.75	S-S	( 7)
140	23.50	56.70	58.75	S-S	( 7)
150	23.50	57.07	58.75	S-S	( 7)
160	23.50	55.71	58.75	S-S	( 7)
170	23.50	52.65	58.75	S-S	( 7)
180	23.50	51.00	58.75	S-S	( 7)
190	23.50	51.27	58.75	S-S	( 7)
200	23.50	49.98	58.75	S-S	( 7)
210	23.50	48.37	58.75	S-S	( 7)
220	38.00	30.29	83.44	S-S	( 25)
230	23.50	45.38	58.75	S-S	( 7)
240	23.50	41.78	58.75	S-S	( 7)

		7953 rap	annexe E-2.txt		
250	23.50	36.92	58.75	S-S	( 7)
260	23.50	30.93	58.75	S-S	( 7)
270	23.50	36.00	58.75	S-S	( 7)
280	23.50	41.36	58.75	S-S	( 7)
290	23.50	45.55	58.75	S-S	( 7)
300	23.50	50.85	58.75	S-S	( 7)
310	23.50	54.60	58.75	S-S	( 7)
320	23.50	56.70	58.75	S-S	( 7)
330	23.50	57.07	58.75	S-S	( 7)
340	23.50	55.71	58.75	S-S	( 7)
350	23.50	52.65	58.75	S-S	( 7)
360	23.50	51.00	58.75	S-S	( 7)

Stack number: 11 Name: 300FA02

Structure producing the greatest GEP stack height within 5L: ( 25)

Height: 38.00 Width: 30.98 GEP: 84.47

#### Direction Specific Building Downwash

Degree	Height	Width	GEP	Method	Dominant Structure
10	23.50	51.27	58.75	S-S	( 7)
20	23.50	49.98	58.75	S-S	( 7)
30	23.50	48.37	58.75	S-S	( 7)
40	38.00	30.98	84.47	S-S	( 25)
50	38.00	30.13	83.20	S-S	( 25)
60	38.00	29.02	81.52	S-S	( 25)
70	21.50	178.43	53.75	S-S	( 13 25)
80	21.50	153.55	53.75	S-S	( 13 25)
90	21.50	166.00	53.75	S-S	( 13 25)
100	21.50	187.96	53.75	S-S	( 13 25)
110	21.50	204.21	53.75	S-S	( 13 25)
120	18.00	53.07	45.00	S-S	( 49)
130	18.00	53.64	45.00	S-S	( 49)

		7953 rap	annexe E-2.txt		
140	18.00	52.58	45.00	S-S	( 49)
150	18.00	49.93	45.00	S-S	( 49)
160	18.00	45.75	45.00	S-S	( 49)
170	18.00	40.19	45.00	S-S	( 49)
180	18.00	33.40	45.00	S-S	( 49)
190	21.50	268.44	53.75	S-S	( 25 7 13)
200	21.50	269.72	53.75	S-S	( 25 7 13)
210	21.50	264.01	53.75	S-S	( 25 7 13)
220	21.50	218.36	53.75	S-S	( 13 25)
230	23.50	45.38	58.75	S-S	( 7)
240	23.50	41.78	58.75	S-S	( 7)
250	21.50	178.43	53.75	S-S	( 25 7 13)
260	21.50	153.55	53.75	S-S	( 25 7 13)
270	21.50	166.00	53.75	S-S	( 25 7 13)
280	21.50	187.96	53.75	S-S	( 25 7 13)
290	21.50	204.21	53.75	S-S	( 25 7 13)
300	18.00	53.07	45.00	S-S	( 49)
310	18.00	53.64	45.00	S-S	( 49)
320	18.00	52.58	45.00	S-S	( 49)
330	18.00	49.93	45.00	S-S	( 49)
340	18.00	45.75	45.00	S-S	( 49)
350	18.00	40.19	45.00	S-S	( 49)
360	18.00	33.40	45.00	S-S	( 49)

Stack number: 12 Name: 300FA03

Structure producing the greatest GEP stack height within 5L: ( 25)

Height: 38.00 width: 30.24 GEP: 83.36

Direction Specific Building Downwash

Degree	Height	Width	GEP	Method	Dominant Structure
10	23.50	51.27	58.75	S-S	( 7)
20	23.50	49.98	58.75	S-S	( 7)

		7953 rap	annexe E-2.txt		
30	23.50	48.37	58.75	S-S	( 7)
40	23.50	47.60	58.75	S-S	( 7)
50	38.00	30.13	83.20	S-S	( 25)
60	38.00	29.02	81.52	S-S	( 25)
70	38.00	28.88	81.32	S-S	( 25)
80	21.50	153.55	53.75	S-S	( 13)
90	21.50	166.00	53.75	S-S	( 13)
100	21.50	187.96	53.75	S-S	( 13)
110	21.50	204.21	53.75	S-S	( 13)
120	21.50	214.26	53.75	S-S	( 13)
130	18.00	53.64	45.00	S-S	( 49)
140	18.00	52.58	45.00	S-S	( 49)
150	18.00	49.93	45.00	S-S	( 49)
160	18.00	45.75	45.00	S-S	( 49)
170	18.00	40.19	45.00	S-S	( 49)
180	23.50	51.00	58.75	S-S	( 7)
190	23.50	51.27	58.75	S-S	( 7)
200	23.50	49.98	58.75	S-S	( 7)
210	23.50	48.37	58.75	S-S	( 7)
220	23.50	47.60	58.75	S-S	( 7)
230	23.50	45.38	58.75	S-S	( 7)
240	23.50	41.78	58.75	S-S	( 7)
250	23.50	36.92	58.75	S-S	( 7)
260	21.50	153.55	53.75	S-S	( 25 7 13)
270	21.50	166.00	53.75	S-S	( 25 7 13)
280	21.50	187.96	53.75	S-S	( 25 7 13)
290	21.50	204.21	53.75	S-S	( 25 7 13)
300	21.50	214.26	53.75	S-S	( 13)
310	18.00	53.64	45.00	S-S	( 49)
320	18.00	52.58	45.00	S-S	( 49)
330	18.00	49.93	45.00	S-S	( 49)
340	18.00	45.75	45.00	S-S	( 49)

7953 rap annexe E-2.txt

350	18.00	40.19	45.00	S-S	( 49)
360	23.50	51.00	58.75	S-S	( 7)

Stack number: 13 Name: 300FA04

Structure producing the greatest GEP stack height within 5L: ( 25)

Height: 38.00 Width: 29.31 GEP: 81.96

Direction Specific Building Downwash

Degree	Height	Width	GEP	Method	Dominant Structure
10	23.50	51.27	58.75	S-S	( 7)
20	23.50	49.98	58.75	S-S	( 7)
30	23.50	48.37	58.75	S-S	( 7)
40	23.50	47.60	58.75	S-S	( 7)
50	38.00	29.31	81.96	S-S	( 25)
60	38.00	29.02	81.52	S-S	( 25)
70	38.00	28.88	81.32	S-S	( 25)
80	38.00	27.86	79.79	S-S	( 25)
90	21.50	166.00	53.75	S-S	( 13)
100	21.50	187.96	53.75	S-S	( 13)
110	21.50	204.21	53.75	S-S	( 13)
120	21.50	214.26	53.75	S-S	( 13)
130	20.00	64.93	50.00	S-S	( 7 61)
140	20.00	20.29	50.00	S-S	( 61)
150	20.00	23.61	50.00	S-S	( 61)
160	20.00	26.23	50.00	S-S	( 61)
170	23.50	52.65	58.75	S-S	( 7)
180	23.50	51.00	58.75	S-S	( 7)
190	23.50	51.27	58.75	S-S	( 7)
200	23.50	49.98	58.75	S-S	( 7)
210	23.50	48.37	58.75	S-S	( 7)
220	23.50	47.60	58.75	S-S	( 7)
230	23.50	45.38	58.75	S-S	( 7)



7953 rap annexe E-2.txt

240	23.50	41.78	58.75	S-S	( 7)
250	23.50	36.92	58.75	S-S	( 7)
260	23.50	30.93	58.75	S-S	( 7)
270	21.50	166.00	53.75	S-S	( 25 7 13)
280	21.50	187.96	53.75	S-S	( 25 7 13)
290	21.50	204.21	53.75	S-S	( 25 7 13)
300	21.50	214.26	53.75	S-S	( 13)
310	20.00	64.93	50.00	S-S	( 7 61)
320	20.00	20.29	50.00	S-S	( 61)
330	20.00	23.61	50.00	S-S	( 61)
340	20.00	26.23	50.00	S-S	( 61)
350	23.50	52.65	58.75	S-S	( 7)
360	23.50	51.00	58.75	S-S	( 7)

Stack number: 14 Name: 300FA05

Structure producing the greatest GEP stack height within 5L: ( 25)

Height: 38.00 width: 29.49 GEP: 82.24

Direction Specific Building Downwash

Degree	Height	Width	GEP	Method	Dominant Structure
10	18.00	25.60	45.00	S-S	( 49)
20	18.00	55.59	45.00	S-S	( 7 49 61)
30	23.50	48.37	58.75	S-S	( 7)
40	23.50	47.60	58.75	S-S	( 7)
50	38.00	29.49	82.24	S-S	( 25)
60	38.00	29.02	81.52	S-S	( 25)
70	38.00	28.88	81.32	S-S	( 25)
80	21.50	153.55	53.75	S-S	( 25 7 13)
90	21.50	166.00	53.75	S-S	( 25 7 13)
100	21.50	187.96	53.75	S-S	( 25 7 13)
110	21.50	204.21	53.75	S-S	( 25 7 13)
120	18.00	53.07	45.00	S-S	( 49)

7953 rap annexe E-2.txt

130	18.00	53.64	45.00	S-S	( 49)
140	18.00	52.58	45.00	S-S	( 49)
150	18.00	49.93	45.00	S-S	( 49)
160	18.00	45.75	45.00	S-S	( 49)
170	18.00	40.19	45.00	S-S	( 49)
180	18.00	33.40	45.00	S-S	( 49)
190	18.00	25.60	45.00	S-S	( 49)
200	18.00	55.59	45.00	S-S	( 7 49 61)
210	21.50	264.01	53.75	S-S	( 25 7 13)
220	18.00	29.62	45.00	S-S	( 49)
230	18.00	36.87	45.00	S-S	( 49)
240	18.00	43.00	45.00	S-S	( 49)
250	23.50	36.92	58.75	S-S	( 7)
260	21.50	153.55	53.75	S-S	( 25 7 13)
270	21.50	166.00	53.75	S-S	( 25 7 13)
280	21.50	187.96	53.75	S-S	( 25 7 13)
290	21.50	204.21	53.75	S-S	( 25 7 13)
300	18.00	53.07	45.00	S-S	( 49)
310	18.00	53.64	45.00	S-S	( 49)
320	18.00	52.58	45.00	S-S	( 49)
330	18.00	49.93	45.00	S-S	( 49)
340	18.00	45.75	45.00	S-S	( 49)
350	18.00	40.19	45.00	S-S	( 49)
360	18.00	33.40	45.00	S-S	( 49)

Stack number: 15 Name: 300FA06

Structure producing the greatest GEP stack height within 5L: ( 25)

Height: 38.00 Width: 29.07 GEP: 81.60

Direction Specific Building Downwash

Degree	Height	Width	GEP	Method	Dominant Structure
10	18.00	25.60	45.00	S-S	( 49)

## 7953 rap annexe E-2.txt

20	18.00	55.59	45.00	S-S	( 7 49 61)
30	23.50	48.37	58.75	S-S	( 7)
40	23.50	47.60	58.75	S-S	( 7)
50	38.00	29.07	81.60	S-S	( 25)
60	38.00	29.02	81.52	S-S	( 25)
70	38.00	28.88	81.32	S-S	( 25)
80	21.50	153.55	53.75	S-S	( 13 25)
90	21.50	166.00	53.75	S-S	( 13 25)
100	21.50	187.96	53.75	S-S	( 13 25)
110	21.50	204.21	53.75	S-S	( 13 25)
120	21.50	214.26	53.75	S-S	( 13 25)
130	18.00	53.64	45.00	S-S	( 49)
140	18.00	52.58	45.00	S-S	( 49)
150	18.00	49.93	45.00	S-S	( 49)
160	18.00	45.75	45.00	S-S	( 49)
170	18.00	40.19	45.00	S-S	( 49)
180	18.00	33.40	45.00	S-S	( 49)
190	18.00	25.60	45.00	S-S	( 49)
200	18.00	55.59	45.00	S-S	( 7 49 61)
210	23.50	48.37	58.75	S-S	( 7)
220	23.50	47.60	58.75	S-S	( 7)
230	23.50	45.38	58.75	S-S	( 7)
240	23.50	41.78	58.75	S-S	( 7)
250	23.50	36.92	58.75	S-S	( 7)
260	21.50	153.55	53.75	S-S	( 25 7 13)
270	21.50	166.00	53.75	S-S	( 25 7 13)
280	21.50	187.96	53.75	S-S	( 25 7 13)
290	21.50	204.21	53.75	S-S	( 25 7 13)
300	21.50	214.26	53.75	S-S	( 25 7 13)
310	18.00	53.64	45.00	S-S	( 49)
320	18.00	52.58	45.00	S-S	( 49)

		7953 rap	annexe E-2.txt		
330	18.00	49.93	45.00	S-S	( 49)
340	18.00	45.75	45.00	S-S	( 49)
350	18.00	40.19	45.00	S-S	( 49)
360	18.00	33.40	45.00	S-S	( 49)

Stack number: 16 Name: 300FA07

Structure producing the greatest GEP stack height within 5L: ( 25)

Height: 38.00 Width: 29.07 GEP: 81.60

Direction Specific Building Downwash

Degree	Height	Width	GEP	Method	Dominant Structure
10	18.00	25.60	45.00	S-S	( 49)
20	18.00	55.59	45.00	S-S	( 19)
30	23.50	48.37	58.75	S-S	( 7)
40	23.50	47.60	58.75	S-S	( 7)
50	23.50	45.38	58.75	S-S	( 7)
60	38.00	29.02	81.52	S-S	( 25)
70	38.00	28.88	81.32	S-S	( 25)
80	38.00	27.86	79.79	S-S	( 25)
90	23.50	36.00	58.75	S-S	( 7)
100	21.50	187.96	53.75	S-S	( 13)
110	21.50	204.21	53.75	S-S	( 13)
120	21.50	214.26	53.75	S-S	( 13)
130	18.00	53.64	45.00	S-S	( 49)
140	18.00	52.58	45.00	S-S	( 49)
150	18.00	49.93	45.00	S-S	( 49)
160	18.00	45.75	45.00	S-S	( 49)
170	18.00	40.19	45.00	S-S	( 49)
180	18.00	33.40	45.00	S-S	( 49)
190	18.00	25.60	45.00	S-S	( 49)
200	18.00	55.59	45.00	S-S	( 19)
210	23.50	48.37	58.75	S-S	( 7)

		7953 rap	annexe E-2.txt		
220	23.50	47.60	58.75	S-S	( 7)
230	23.50	45.38	58.75	S-S	( 7)
240	23.50	41.78	58.75	S-S	( 7)
250	23.50	36.92	58.75	S-S	( 7)
260	23.50	30.93	58.75	S-S	( 7)
270	23.50	36.00	58.75	S-S	( 7)
280	21.50	187.96	53.75	S-S	( 25 7 13)
290	21.50	204.21	53.75	S-S	( 25 7 13)
300	21.50	214.26	53.75	S-S	( 25 7 13)
310	18.00	53.64	45.00	S-S	( 49)
320	18.00	52.58	45.00	S-S	( 49)
330	18.00	49.93	45.00	S-S	( 49)
340	18.00	45.75	45.00	S-S	( 49)
350	18.00	40.19	45.00	S-S	( 49)
360	18.00	33.40	45.00	S-S	( 49)

Stack number: 17 Name: CHAUDIER

Structure producing the greatest GEP stack height within 5L: ( 55)

Height: 16.80 width: 25.32 GEP: 42.00

#### Direction Specific Building Downwash

Degree	Height	Width	GEP	Method	Dominant Structure
10	16.80	27.63	42.00	H-S	( 55)
20	16.80	27.42	42.00	H-S	( 55)
30	16.80	26.38	42.00	H-S	( 55)
40	16.80	24.54	42.00	H-S	( 55)
50	16.80	21.95	42.00	H-S	( 55)
60	16.80	18.70	42.00	H-S	( 55)
70	0.00	0.00	0.00	ND	
80	0.00	0.00	0.00	ND	
90	0.00	0.00	0.00	ND	
100	16.80	18.13	42.00	H-S	( 55)

7953 rap annexe E-2.txt

110	16.80	21.71	42.00	H-S	( 55)
120	16.80	24.62	42.00	H-S	( 55)
130	16.80	26.79	42.00	H-S	( 55)
140	16.80	28.15	42.00	H-S	( 55)
150	16.80	28.65	42.00	H-S	( 55)
160	16.80	28.28	42.00	H-S	( 55)
170	16.80	27.05	42.00	H-S	( 55)
180	16.80	27.00	42.00	H-S	( 55)
190	16.80	27.63	42.00	H-S	( 55)
200	16.80	27.42	42.00	H-S	( 55)
210	16.80	26.38	42.00	H-S	( 55)
220	16.80	24.54	42.00	H-S	( 55)
230	16.80	21.95	42.00	H-S	( 55)
240	16.80	18.70	42.00	H-S	( 55)
250	0.00	0.00	0.00	ND	
260	0.00	0.00	0.00	ND	
270	0.00	0.00	0.00	ND	
280	16.80	18.13	42.00	H-S	( 55)
290	16.80	21.71	42.00	H-S	( 55)
300	16.80	24.62	42.00	H-S	( 55)
310	16.80	26.79	42.00	H-S	( 55)
320	16.80	28.15	42.00	H-S	( 55)
330	16.80	28.65	42.00	H-S	( 55)
340	16.80	28.28	42.00	H-S	( 55)
350	16.80	27.05	42.00	H-S	( 55)
360	16.80	27.00	42.00	H-S	( 55)

\*\*\*\*\*

Run ended on: 7/06/2001 at 11:29:16  
\*\*\*\*\*

### ANNEXE E-3

#### Données de sources - ammoniac

	X (m)	Y (m)	Élévation (m)	débit de contaminant (g/s)	hauteur de la source (m)	Température (K)	vitesse de sortie des gaz (m/s)	diamètre de la cheminée (m)
210SX02	255998	5365750	111,5	0,0442	24	293,15	16,7	1,2
210SX03	255976	5365746	111,5	0,4417	24	293,15	16,6	0,85
210SX04	255980	5365712	111,5	0,0442	30	293,15	16,6	0,85
320SX01	256004	5365736	111,5	3,7111	30	360,15	17,7	1
330SX01	256051	5365734	111,5	0,0667	27	453,15	14,1	0,05
380SX03	256000	5365728	111,5	6,5556	27	333,15	9,8	0,3

## ANNEXE E-3

### Données de sources - poussières

	X (m)	Y (m)	Élévation (m)	débit de contaminant (g/s)	hauteur de la source (m)	Température (K)	vitesse de sortie des gaz (m/s)	diamètre de la cheminée (m)
210SX02	255998	5365750	111,5	0,0377	24	293,15	16,7	1,2
210SX03	255976	5365746	111,5	0,0188	24	293,15	16,6	0,85
210SX04	255980	5365712	111,5	0,0188	30	293,15	16,6	0,85
210FA04	255988	5365751	111,5	0,0076	16,2	293,15	1,9	2,25
210FA05	255981	5365732	111,5	0,0076	16,2	293,15	1,9	2,25
210FA06	255971	5365717	111,5	0,0076	20,2	293,15	1,9	2,25
210FA07	255979	5365715	111,5	0,0076	20,2	293,15	1,9	2,25
300FA02	256006	5365748	111,5	0,0036	18,2	293,15	1,9	2,25
300FA03	256000	5365733	111,5	0,0036	18,2	293,15	1,9	2,25
300FA04	255995	5365720	111,5	0,0036	18,2	293,15	1,9	2,25
300FA05	256022	5365742	111,5	0,0036	12,2	293,15	1,9	2,25
300FA06	256016	5365729	111,5	0,0036	12,2	293,15	1,9	2,25
300FA07	256009	5365712	111,5	0,0036	12,2	293,15	1,9	2,25
CHAUDIER	256268	5365736	111,5	0,2444	41	473,15	14	1,82



### ANNEXE E-3

#### Données de sources - CO

	X (m)	Y (m)	Élévation (m)	débit de contaminant (g/s)	hauteur de la source (m)	Température (K)	vitesse de sortie des gaz (m/s)	diamètre de la cheminée (m)
CHAUDIER	256268	5365736	111,5	3,7	41	473,15	14	1,82

#### Données de sources - SO<sub>2</sub>

	X (m)	Y (m)	Élévation (m)	débit de contaminant (g/s)	hauteur de la source (m)	Température (K)	vitesse de sortie des gaz (m/s)	diamètre de la cheminée (m)
CHAUDIER	256268	5365736	111,5	0,024	41	473,15	14	1,82

#### Données de sources - NO<sub>2</sub>

	X (m)	Y (m)	Élévation (m)	débit de contaminant (g/s)	hauteur de la source (m)	Température (K)	vitesse de sortie des gaz (m/s)	diamètre de la cheminée (m)
CHAUDIER	256268	5365736	111,5	1	41	473,15	14	1,82

## ANNEXE E-4

**Tableau E-4.1: Tableau des 50 résultats les plus élevés de concentration de particules sur une base annuelle en 1996**

Rang	Concentration ( $\mu\text{g}/\text{m}^3$ )	Coordonnées récepteur (m)		Pourcentage du critère (%)
		X	Y	
1	0,135	254780	5366178	0,19%
2	0,134	254780	5366078	0,19%
3	0,126	254680	5366178	0,18%
4	0,125	254780	5365978	0,18%
5	0,122	254680	5366078	0,17%
6	0,120	254839	5366274	0,17%
7	0,120	254780	5366278	0,17%
8	0,119	254680	5366278	0,17%
9	0,117	254580	5366178	0,17%
10	0,117	254850	5365900	0,17%
11	0,113	254680	5365978	0,16%
12	0,112	254580	5366278	0,16%
13	0,112	254580	5366078	0,16%
14	0,108	254480	5366178	0,15%
15	0,107	254480	5366278	0,15%
16	0,103	254480	5366078	0,15%
17	0,102	254580	5365978	0,15%
18	0,100	254380	5366178	0,14%
19	0,099	254380	5366278	0,14%
20	0,096	254380	5366078	0,14%
21	0,096	254580	5366378	0,14%
22	0,094	254480	5366378	0,13%
23	0,093	254280	5366178	0,13%
24	0,093	254680	5366378	0,13%
25	0,093	254480	5365978	0,13%
26	0,092	254280	5366278	0,13%
27	0,091	254680	5365878	0,13%
28	0,090	254380	5366378	0,13%
29	0,089	254280	5366078	0,13%
30	0,086	254180	5366178	0,12%
31	0,085	254380	5365978	0,12%
32	0,084	254180	5366278	0,12%
33	0,084	254280	5366378	0,12%
34	0,083	254180	5366078	0,12%
35	0,082	254580	5365878	0,12%
36	0,082	255580	5365178	0,12%
37	0,081	254080	5366178	0,12%
38	0,081	255550	5365400	0,12%
39	0,078	254080	5366278	0,11%
40	0,078	254280	5365978	0,11%
41	0,077	254180	5366378	0,11%
42	0,077	254380	5366478	0,11%
43	0,077	254080	5366078	0,11%
44	0,076	254480	5366478	0,11%
45	0,076	253980	5366178	0,11%
46	0,076	254280	5366478	0,11%
47	0,075	254080	5366378	0,11%
48	0,075	254480	5365878	0,11%
49	0,075	255580	5365078	0,11%
50	0,073	253980	5366278	0,10%

## ANNEXE E-4

**Tableau E-4.2: Tableau des 50 résultats les plus élevés de concentration de particules sur une base annuelle en 1997**

Rang	Concentration ( $\mu\text{g}/\text{m}^3$ )	Coordonnées récepteur (m)		Pourcentage du critère (%)
		X	Y	
1	0,131	254780	5366078	0,19%
2	0,128	254780	5365978	0,18%
3	0,125	254850	5365900	0,18%
4	0,122	254680	5366078	0,17%
5	0,119	254780	5366178	0,17%
6	0,117	254680	5366178	0,17%
7	0,117	254680	5365978	0,17%
8	0,113	254580	5366078	0,16%
9	0,112	254580	5366178	0,16%
10	0,107	254580	5365978	0,15%
11	0,106	254480	5366178	0,15%
12	0,105	254480	5366078	0,15%
13	0,100	254380	5366178	0,14%
14	0,100	254680	5365878	0,14%
15	0,099	254839	5366274	0,14%
16	0,098	254380	5366078	0,14%
17	0,098	254480	5365978	0,14%
18	0,098	254780	5366278	0,14%
19	0,098	254680	5366278	0,14%
20	0,096	254580	5366278	0,14%
21	0,096	254480	5366278	0,14%
22	0,094	254280	5366178	0,13%
23	0,092	254380	5366278	0,13%
24	0,092	255550	5365400	0,13%
25	0,091	254280	5366078	0,13%
26	0,090	254380	5365978	0,13%
27	0,090	254580	5365878	0,13%
28	0,087	254280	5366278	0,12%
29	0,087	254180	5366178	0,12%
30	0,085	254180	5366078	0,12%
31	0,084	254280	5365978	0,12%
32	0,082	254080	5366178	0,12%
33	0,082	254480	5365878	0,12%
34	0,082	254180	5366278	0,12%
35	0,080	254080	5366078	0,11%
36	0,078	254180	5365978	0,11%
37	0,078	254680	5366378	0,11%
38	0,078	253980	5366178	0,11%
39	0,078	254580	5366378	0,11%
40	0,077	254080	5366278	0,11%
41	0,076	254480	5366378	0,11%
42	0,075	253980	5366078	0,11%
43	0,075	254380	5365878	0,11%
44	0,074	254380	5366378	0,11%
45	0,074	255580	5365178	0,11%
46	0,073	253980	5366278	0,10%
47	0,073	254080	5365978	0,10%
48	0,073	255575	5364525	0,10%
49	0,073	255480	5365278	0,10%
50	0,072	253880	5366078	0,10%

**ANNEXE E-4**

**Tableau E-4.3: Tableau des 50 résultats les plus élevés de concentration de particules sur une base annuelle en 1998**

Rang	Concentration ( $\mu\text{g}/\text{m}^3$ )	Coordonnées récepteur (m)		Pourcentage du critère (%)
		X	Y	
1	0,118	254850	5365900	0,17%
2	0,115	254780	5365978	0,16%
3	0,111	254780	5366078	0,16%
4	0,108	254780	5366178	0,15%
5	0,106	254680	5365978	0,15%
6	0,104	254680	5366078	0,15%
7	0,101	254680	5366178	0,14%
8	0,101	254680	5365878	0,14%
9	0,098	254580	5365978	0,14%
10	0,098	254580	5366078	0,14%
11	0,097	254839	5366274	0,14%
12	0,096	254325	5365800	0,14%
13	0,096	255550	5365400	0,14%
14	0,096	254780	5366278	0,14%
15	0,095	254580	5366178	0,14%
16	0,095	254680	5366278	0,14%
17	0,094	254580	5365878	0,13%
18	0,093	254480	5366078	0,13%
19	0,091	254480	5365978	0,13%
20	0,090	254480	5366178	0,13%
21	0,089	254580	5366278	0,13%
22	0,088	255580	5365178	0,13%
23	0,087	254380	5366078	0,12%
24	0,087	254480	5365878	0,12%
25	0,086	254480	5366278	0,12%
26	0,085	254380	5365978	0,12%
27	0,085	254380	5366178	0,12%
28	0,082	254280	5366078	0,12%
29	0,082	254380	5365878	0,12%
30	0,080	254280	5366178	0,11%
31	0,080	254380	5366278	0,11%
32	0,079	254280	5365978	0,11%
33	0,078	254180	5366078	0,11%
34	0,077	254280	5365878	0,11%
35	0,077	255480	5365078	0,11%
36	0,076	254580	5366378	0,11%
37	0,075	254180	5366178	0,11%
38	0,075	254680	5366378	0,11%
39	0,075	254280	5365778	0,11%
40	0,075	254180	5365978	0,11%
41	0,074	255480	5365278	0,11%
42	0,074	254280	5366278	0,11%
43	0,074	254480	5366378	0,11%
44	0,074	255480	5365178	0,11%
45	0,073	254080	5366078	0,10%
46	0,073	254180	5365878	0,10%
47	0,072	254080	5366178	0,10%
48	0,071	253980	5365778	0,10%
49	0,071	254380	5366378	0,10%
50	0,071	254080	5365978	0,10%

**ANNEXE E-4**

**Tableau E-4.4: Tableau des 50 résultats les plus élevés de concentration de particules sur une base annuelle en 1999**

Rang	Concentration ( $\mu\text{g}/\text{m}^3$ )	Coordonnées récepteur (m)		Pourcentage du critère (%)
		X	Y	
1	0,123	254850	5365900	0,18%
2	0,122	254780	5365978	0,17%
3	0,115	254780	5366078	0,16%
4	0,112	254680	5365978	0,16%
5	0,109	254680	5366078	0,16%
6	0,104	254580	5365978	0,15%
7	0,103	254580	5366078	0,15%
8	0,101	254680	5365878	0,14%
9	0,100	254780	5366178	0,14%
10	0,098	254680	5366178	0,14%
11	0,098	254480	5366078	0,14%
12	0,096	254480	5365978	0,14%
13	0,095	254580	5366178	0,14%
14	0,092	254380	5366078	0,13%
15	0,092	254480	5366178	0,13%
16	0,092	254580	5365878	0,13%
17	0,089	254380	5365978	0,13%
18	0,089	254380	5366178	0,13%
19	0,087	254280	5366078	0,12%
20	0,085	254280	5366178	0,12%
21	0,085	254680	5366278	0,12%
22	0,084	254480	5365878	0,12%
23	0,084	254780	5366278	0,12%
24	0,083	254839	5366274	0,12%
25	0,083	254280	5365978	0,12%
26	0,082	254180	5366078	0,12%
27	0,082	254580	5366278	0,12%
28	0,080	254480	5366278	0,11%
29	0,080	254180	5366178	0,11%
30	0,078	254380	5365878	0,11%
31	0,078	254080	5366078	0,11%
32	0,078	254180	5365978	0,11%
33	0,077	254325	5365800	0,11%
34	0,077	254380	5366278	0,11%
35	0,076	254080	5366178	0,11%
36	0,075	255550	5365400	0,11%
37	0,074	253980	5366078	0,11%
38	0,074	254280	5366278	0,11%
39	0,073	253980	5366178	0,10%
40	0,073	254080	5365978	0,10%
41	0,072	254280	5365878	0,10%
42	0,071	253880	5366078	0,10%
43	0,070	254180	5366278	0,10%
44	0,070	253980	5365978	0,10%
45	0,067	254180	5365878	0,10%
46	0,067	253880	5366178	0,10%
47	0,067	254080	5366278	0,10%
48	0,066	255580	5365178	0,09%
49	0,066	254580	5366378	0,09%
50	0,065	254480	5366378	0,09%

## ANNEXE E-4

**Tableau E-4.5: Tableau des 50 résultats les plus élevés de concentration de particules sur une base annuelle en 2000**

Rang	Concentration ( $\mu\text{g}/\text{m}^3$ )	Coordonnées récepteur (m)		Pourcentage du critère (%)
		X	Y	
1	0,124	254780	5366078	0,18%
2	0,121	254780	5366178	0,17%
3	0,118	254850	5365900	0,17%
4	0,116	254780	5365978	0,17%
5	0,115	254680	5366178	0,16%
6	0,113	254680	5366078	0,16%
7	0,108	254580	5366178	0,15%
8	0,106	254680	5365978	0,15%
9	0,103	254580	5366078	0,15%
10	0,102	254680	5366278	0,15%
11	0,101	254780	5366278	0,14%
12	0,100	254480	5366178	0,14%
13	0,100	254839	5366274	0,14%
14	0,099	254580	5366278	0,14%
15	0,098	254680	5365878	0,14%
16	0,098	254580	5365978	0,14%
17	0,097	254480	5366278	0,14%
18	0,095	254480	5366078	0,14%
19	0,093	254380	5366178	0,13%
20	0,091	255550	5365400	0,13%
21	0,091	254480	5365978	0,13%
22	0,090	254380	5366278	0,13%
23	0,090	254580	5365878	0,13%
24	0,088	254380	5366078	0,13%
25	0,087	254280	5366178	0,12%
26	0,084	254380	5365978	0,12%
27	0,084	254280	5366278	0,12%
28	0,083	254480	5365878	0,12%
29	0,082	254280	5366078	0,12%
30	0,080	254325	5365800	0,11%
31	0,079	254480	5366378	0,11%
32	0,079	254580	5366378	0,11%
33	0,079	254180	5366178	0,11%
34	0,079	254280	5365978	0,11%
35	0,078	254380	5366378	0,11%
36	0,078	254180	5366278	0,11%
37	0,077	254180	5366078	0,11%
38	0,077	254380	5365878	0,11%
39	0,077	254680	5366378	0,11%
40	0,074	254180	5365978	0,11%
41	0,074	254080	5366178	0,11%
42	0,074	254280	5366378	0,11%
43	0,073	255480	5365278	0,10%
44	0,072	254080	5366078	0,10%
45	0,072	254080	5366278	0,10%
46	0,071	254280	5365878	0,10%
47	0,070	254080	5365978	0,10%
48	0,069	253980	5366178	0,10%
49	0,069	254180	5366378	0,10%
50	0,068	253980	5366078	0,10%

**ANNEXE E-4**

**Tableau E-4.6: Tableau des 50 résultats les plus élevés de concentration de particules sur une base quotidienne en 1996**

Rang	Concentration ( $\mu\text{g}/\text{m}^3$ )	Coordonnées récepteur (m)		Date	Pourcentage du critère (%)
		X	Y		
1	1,446	255580	5365178	96-01-31	2,1%
2	1,319	255480	5365078	96-01-31	1,9%
3	1,249	255480	5364378	96-02-08	1,8%
4	1,232	255180	5364978	96-06-02	1,8%
5	1,204	255280	5365078	96-06-02	1,7%
6	1,194	255080	5364878	96-06-02	1,7%
7	1,115	254980	5364778	96-06-02	1,6%
8	1,108	255380	5365178	96-06-02	1,6%
9	1,102	254880	5364678	96-06-02	1,6%
10	1,087	255380	5364978	96-01-31	1,6%
11	1,069	255480	5364478	96-02-08	1,5%
12	1,061	255575	5364525	96-02-08	1,5%
13	1,039	255480	5365278	96-06-02	1,5%
14	1,031	255425	5365000	96-01-31	1,5%
15	1,017	254780	5364578	96-06-02	1,5%
16	0,980	255480	5364478	96-08-09	1,4%
17	0,973	255075	5364550	96-01-31	1,4%
18	0,963	255380	5364078	96-02-08	1,4%
19	0,955	255480	5364378	96-08-09	1,4%
20	0,946	254680	5364478	96-06-02	1,4%
21	0,933	255080	5364478	96-01-31	1,3%
22	0,928	255080	5364578	96-01-31	1,3%
23	0,911	254980	5364378	96-01-31	1,3%
24	0,890	255480	5365178	96-05-11	1,3%
25	0,882	254580	5364378	96-06-02	1,3%
26	0,877	255280	5364878	96-08-15	1,3%
27	0,864	255280	5364878	96-01-31	1,2%
28	0,854	254880	5364278	96-01-31	1,2%
29	0,850	255480	5365278	96-05-11	1,2%
30	0,848	255625	5365050	96-05-08	1,2%
31	0,830	255380	5365078	96-05-11	1,2%
32	0,830	255180	5364778	96-08-15	1,2%
33	0,828	255580	5365078	96-03-17	1,2%
34	0,825	254480	5364278	96-06-02	1,2%
35	0,823	255380	5364978	96-08-15	1,2%
36	0,812	255380	5365178	96-05-11	1,2%
37	0,805	255280	5363878	96-02-08	1,2%
38	0,803	254780	5364078	96-01-31	1,1%
39	0,796	255625	5365050	96-07-31	1,1%
40	0,792	255280	5365078	96-05-11	1,1%
41	0,791	255625	5365050	96-04-26	1,1%
42	0,787	254580	5364478	96-06-04	1,1%
43	0,784	254680	5364578	96-06-02	1,1%
44	0,779	255280	5364978	96-05-11	1,1%
45	0,779	254480	5364378	96-06-02	1,1%
46	0,776	255280	5364878	96-09-18	1,1%
47	0,773	255300	5365300	96-04-25	1,1%
48	0,773	254380	5364178	96-06-02	1,1%
49	0,773	255580	5364478	96-05-10	1,1%
50	0,773	254680	5363978	96-01-31	1,1%

## ANNEXE E-4

**Tableau E-4.7: Tableau des 50 résultats les plus élevés de concentration de particules sur une base quotidienne en 1997**

Rang	Concentration ( $\mu\text{g}/\text{m}^3$ )	Coordonnées récepteur (m)		Date	Pourcentage du critère (%)
		X	Y		
1	1,929	255380	5364478	97-02-09	2,8%
2	1,858	254450	5365100	97-12-05	2,7%
3	1,791	254380	5365078	97-12-05	2,6%
4	1,757	255580	5364478	97-02-09	2,5%
5	1,747	255580	5364378	97-02-09	2,5%
6	1,685	255280	5364278	97-02-09	2,4%
7	1,670	254380	5365178	97-12-05	2,4%
8	1,646	254280	5365078	97-12-05	2,4%
9	1,628	255600	5364325	97-06-01	2,3%
10	1,581	255480	5364478	97-07-12	2,3%
11	1,550	254080	5364978	97-12-05	2,2%
12	1,534	255280	5364378	97-02-09	2,2%
13	1,515	255575	5364525	97-02-09	2,2%
14	1,510	255580	5364478	97-11-06	2,2%
15	1,504	254180	5365078	97-12-05	2,1%
16	1,485	255575	5364525	97-11-06	2,1%
17	1,465	255250	5364200	97-02-09	2,1%
18	1,463	254280	5365178	97-12-05	2,1%
19	1,463	255380	5364278	97-07-12	2,1%
20	1,459	253980	5365078	97-12-05	2,1%
21	1,452	255580	5364378	97-06-01	2,1%
22	1,446	255180	5364178	97-02-09	2,1%
23	1,433	255575	5364525	97-06-01	2,0%
24	1,430	255580	5364378	97-11-06	2,0%
25	1,425	255580	5364478	97-06-01	2,0%
26	1,407	253880	5364878	97-12-05	2,0%
27	1,405	253875	5364875	97-12-05	2,0%
28	1,394	253980	5364978	97-12-05	2,0%
29	1,354	255180	5364078	97-02-09	1,9%
30	1,352	255600	5364325	97-02-09	1,9%
31	1,325	253880	5364325	97-12-05	1,9%
32	1,321	255600	5364325	97-11-06	1,9%
33	1,297	254380	5364325	97-12-05	1,9%
34	1,296	255625	5364325	97-02-09	1,9%
35	1,277	255080	5364325	97-02-09	1,8%
36	1,250	253880	5364325	97-12-05	1,8%
37	1,237	255080	5364325	97-02-09	1,8%
38	1,220	253880	5364325	97-12-05	1,7%
39	1,217	254980	5364325	97-02-09	1,7%
40	1,165	255380	5364325	97-07-12	1,7%
41	1,161	254980	5364325	97-02-09	1,7%
42	1,157	254080	5364325	97-12-05	1,7%
43	1,156	255480	5364325	97-02-14	1,7%
44	1,146	255480	5364325	97-06-01	1,6%
45	1,144	254880	5364325	97-02-09	1,6%
46	1,133	255380	5364325	97-02-09	1,6%
47	1,132	254850	5364325	97-09-25	1,6%
48	1,127	255480	5364325	97-02-14	1,6%
49	1,111	255280	5364325	97-07-12	1,6%
50	1,110	255580	5364325	97-03-06	1,6%



**ANNEXE E-4**

**Tableau E-4.8: Tableau des 50 résultats les plus élevés de concentration de particules sur une base quotidienne en 1998**

Rang	Concentration ( $\mu\text{g}/\text{m}^3$ )	Coordonnées récepteur (m)		Date	Pourcentage du critère (%)
		X	Y		
1	1,462	255580	5365178	98-02-11	2,1%
2	1,454	255600	5364325	98-03-04	2,1%
3	1,362	255480	5365078	98-02-11	1,9%
4	1,293	255580	5364478	98-03-04	1,8%
5	1,272	255575	5364525	98-03-04	1,8%
6	1,249	255580	5365078	98-04-05	1,8%
7	1,243	255580	5364378	98-03-04	1,8%
8	1,128	255480	5365178	98-09-08	1,6%
9	1,115	255075	5364550	98-02-11	1,6%
10	1,100	255380	5365078	98-09-08	1,6%
11	1,098	255380	5364478	98-08-12	1,6%
12	1,065	255575	5364525	98-08-12	1,5%
13	1,060	255380	5364978	98-02-11	1,5%
14	1,057	255425	5365000	98-02-11	1,5%
15	1,054	255280	5364978	98-09-08	1,5%
16	1,039	255280	5364878	98-03-08	1,5%
17	1,038	255280	5364878	98-01-30	1,5%
18	1,037	254980	5364378	98-02-11	1,5%
19	1,031	255380	5364978	98-03-08	1,5%
20	1,017	255080	5364578	98-02-11	1,5%
21	1,004	254680	5364978	98-07-03	1,4%
22	1,002	255380	5364978	98-01-30	1,4%
23	1,002	255180	5364778	98-09-08	1,4%
24	1,000	254880	5364278	98-02-11	1,4%
25	0,999	254280	5364778	98-07-03	1,4%
26	0,997	255080	5364478	98-02-11	1,4%
27	0,997	255180	5364478	98-04-05	1,4%
28	0,996	254480	5364878	98-07-03	1,4%
29	0,991	255280	5364978	98-01-27	1,4%
30	0,989	255180	5364778	98-01-30	1,4%
31	0,982	255575	5364525	98-10-31	1,4%
32	0,980	255580	5365178	98-03-04	1,4%
33	0,980	255280	5364878	98-09-08	1,4%
34	0,977	255080	5364678	98-09-08	1,4%
35	0,976	255080	5364378	98-04-05	1,4%
36	0,973	255480	5364478	98-03-15	1,4%
37	0,967	255480	5363678	98-03-04	1,4%
38	0,967	255480	5365178	98-01-30	1,4%
39	0,961	255380	5365078	98-01-27	1,4%
40	0,960	255180	5364878	98-01-27	1,4%
41	0,949	255480	5365078	98-01-30	1,4%
42	0,949	255550	5365400	98-04-03	1,4%
43	0,942	255180	5364878	98-09-08	1,3%
44	0,940	255480	5363578	98-03-04	1,3%
45	0,940	255580	5365178	98-04-05	1,3%
46	0,937	255480	5365078	98-07-11	1,3%
47	0,935	255480	5365178	98-01-27	1,3%
48	0,934	255580	5365178	98-01-30	1,3%
49	0,930	255300	5365300	98-07-03	1,3%
50	0,927	255600	5364325	98-08-11	1,3%

**ANNEXE E-4**

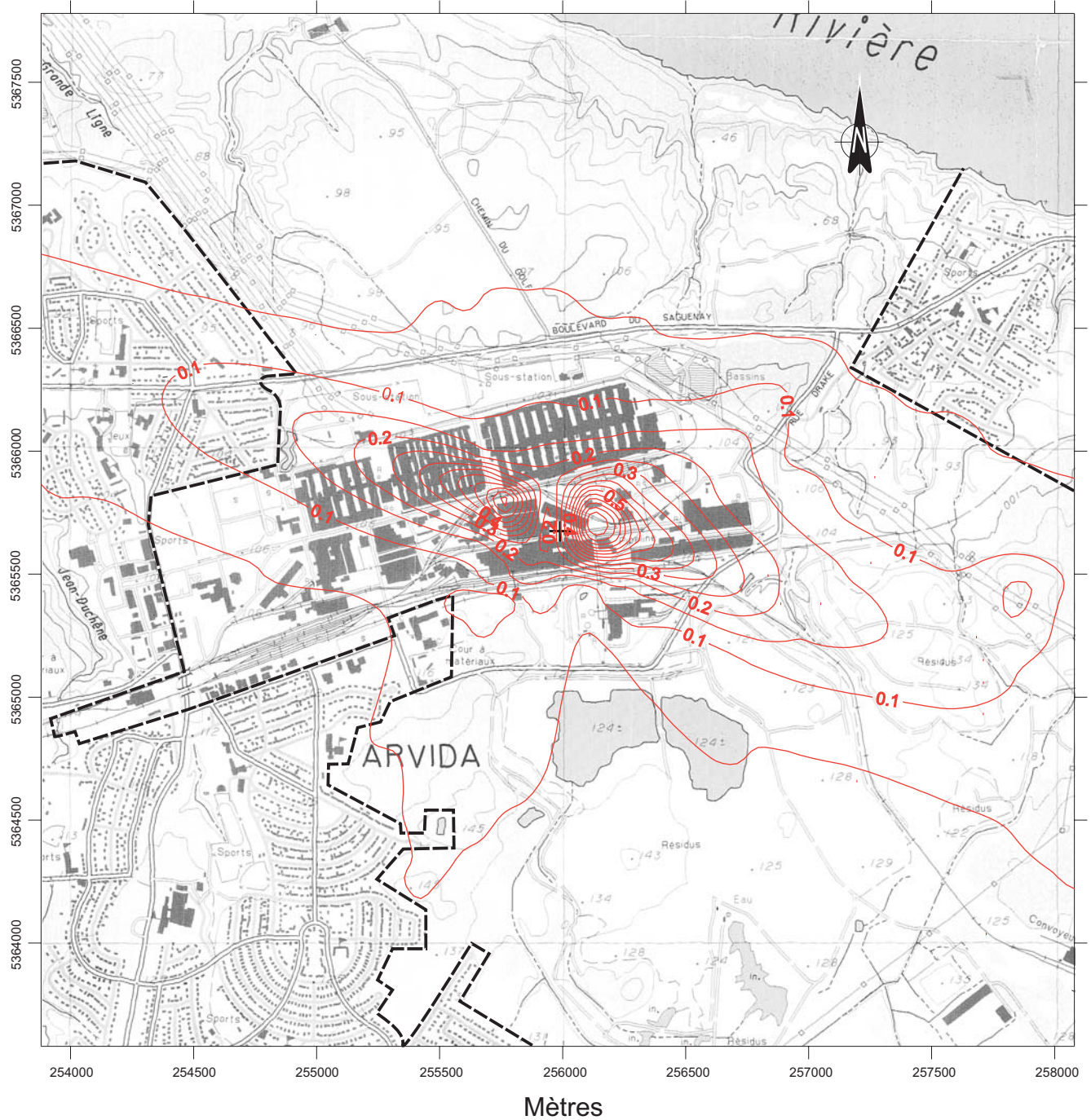
**Tableau E-4.9: Tableau des 50 résultats les plus élevés de concentration de particules sur une base quotidienne en 1999**

Rang	Concentration ( $\mu\text{g}/\text{m}^3$ )	Coordonnées récepteur (m)		Date	Pourcentage du critère (%)
		X	Y		
1	1,830	255575	5364525	99-05-03	2,6%
2	1,778	255580	5364478	99-05-03	2,5%
3	1,327	255580	5364378	99-05-03	1,9%
4	1,283	255280	5364878	99-03-15	1,8%
5	1,276	255180	5364778	99-03-15	1,8%
6	1,216	255080	5364678	99-03-15	1,7%
7	1,147	255380	5363978	99-05-03	1,6%
8	1,142	255580	5365178	99-12-03	1,6%
9	1,129	255380	5364978	99-03-15	1,6%
10	1,114	254980	5364578	99-03-15	1,6%
11	1,102	255380	5363878	99-05-03	1,6%
12	1,099	255580	5365078	99-12-07	1,6%
13	1,083	255380	5364478	99-02-15	1,5%
14	1,077	255480	5364378	99-05-03	1,5%
15	1,060	255480	5365178	99-03-15	1,5%
16	1,056	255080	5364978	99-04-16	1,5%
17	1,053	254980	5364878	99-04-16	1,5%
18	1,029	255180	5365078	99-04-16	1,5%
19	1,015	254880	5364478	99-03-15	1,5%
20	1,012	255480	5365078	99-12-03	1,4%
21	1,002	255475	5364050	99-05-03	1,4%
22	1,001	254780	5366078	99-11-13	1,4%
23	0,986	255480	5365278	99-04-16	1,4%
24	0,979	255575	5364525	99-09-26	1,4%
25	0,973	254880	5364778	99-04-16	1,4%
26	0,972	255380	5365078	99-03-15	1,4%
27	0,962	255550	5365400	99-04-16	1,4%
28	0,955	255280	5363578	99-05-03	1,4%
29	0,953	255380	5364078	99-05-03	1,4%
30	0,922	255280	5364278	99-02-15	1,3%
31	0,914	254780	5364378	99-03-15	1,3%
32	0,902	255580	5365078	99-06-16	1,3%
33	0,902	255580	5365178	99-08-20	1,3%
34	0,900	255480	5365078	99-03-15	1,3%
35	0,897	254780	5364678	99-04-16	1,3%
36	0,891	255280	5364978	99-03-15	1,3%
37	0,890	255380	5364378	99-02-15	1,3%
38	0,887	255580	5365178	99-12-07	1,3%
39	0,882	254680	5366178	99-11-13	1,3%
40	0,881	254680	5366078	99-11-13	1,3%
41	0,880	254580	5366178	99-11-13	1,3%
42	0,871	255480	5364478	99-07-28	1,2%
43	0,871	255580	5364378	99-06-22	1,2%
44	0,869	255280	5365178	99-04-16	1,2%
45	0,869	254680	5364178	99-03-15	1,2%
46	0,868	254780	5364278	99-03-15	1,2%
47	0,863	255250	5364200	99-02-15	1,2%
48	0,860	255480	5365078	99-08-20	1,2%
49	0,849	254580	5364078	99-03-15	1,2%
50	0,849	255280	5364978	99-02-17	1,2%

## ANNEXE E-4

**Tableau E-4.10: Tableau des 50 résultats les plus élevés de concentration de particules sur une base quotidienne en 2000**

Rang	Concentration ( $\mu\text{g}/\text{m}^3$ )	Coordonnées récepteur (m)		Date	Pourcentage du critère (%)
		X	Y		
1	2,282	255550	5365400	00-12-19	3,3%
2	2,141	255480	5365278	00-12-19	3,1%
3	1,802	255380	5365178	00-12-19	2,6%
4	1,575	255280	5365078	00-12-19	2,3%
5	1,480	255380	5365278	00-12-19	2,1%
6	1,395	255280	5365178	00-12-19	2,0%
7	1,374	255180	5364978	00-12-19	2,0%
8	1,362	255300	5365200	00-12-19	1,9%
9	1,328	255180	5365078	00-12-19	1,9%
10	1,245	255080	5364978	00-12-19	1,8%
11	1,243	255550	5365400	00-12-18	1,8%
12	1,198	255080	5364878	00-12-19	1,7%
13	1,190	254980	5364878	00-12-19	1,7%
14	1,179	255480	5365078	00-01-01	1,7%
15	1,170	255550	5365400	00-07-14	1,7%
16	1,161	255380	5364978	00-01-01	1,7%
17	1,155	255280	5364978	00-10-07	1,6%
18	1,143	255380	5365078	00-10-07	1,6%
19	1,135	255480	5365178	00-10-07	1,6%
20	1,115	254880	5364778	00-12-19	1,6%
21	1,088	255180	5364878	00-10-07	1,6%
22	1,060	254780	5364678	00-12-19	1,5%
23	1,050	255280	5364878	00-01-01	1,5%
24	1,047	254980	5364778	00-12-19	1,5%
25	1,039	254780	5366178	00-11-13	1,5%
26	1,029	255580	5365178	00-01-01	1,5%
27	1,022	254780	5365978	00-11-21	1,5%
28	1,016	255575	5364525	00-01-19	1,5%
29	1,014	254680	5365978	00-11-21	1,4%
30	1,013	254850	5365900	00-11-21	1,4%
31	1,008	255550	5365400	00-11-02	1,4%
32	0,996	255080	5364778	00-10-07	1,4%
33	0,989	255280	5364378	00-05-21	1,4%
34	0,976	254680	5364578	00-12-19	1,4%
35	0,957	254580	5365978	00-11-21	1,4%
36	0,956	254780	5366178	00-11-12	1,4%
37	0,955	255300	5365300	00-11-02	1,4%
38	0,953	254880	5364678	00-12-19	1,4%
39	0,947	255080	5364578	00-01-01	1,4%
40	0,941	255480	5364378	00-01-19	1,3%
41	0,936	254980	5364678	00-10-07	1,3%
42	0,932	254780	5366178	00-11-11	1,3%
43	0,918	254680	5366178	00-11-13	1,3%
44	0,910	255480	5365178	00-12-19	1,3%
45	0,906	255480	5365278	00-07-14	1,3%
46	0,902	255180	5364178	00-05-21	1,3%
47	0,900	254580	5364478	00-12-19	1,3%
48	0,899	255075	5364550	00-01-01	1,3%
49	0,892	254680	5366278	00-11-13	1,3%
50	0,889	254580	5366278	00-11-13	1,3%



**LÉGENDE :**

- Courbes de concentrations
- - - Limite de propriété

ÉCHELLE 1 : 25 000



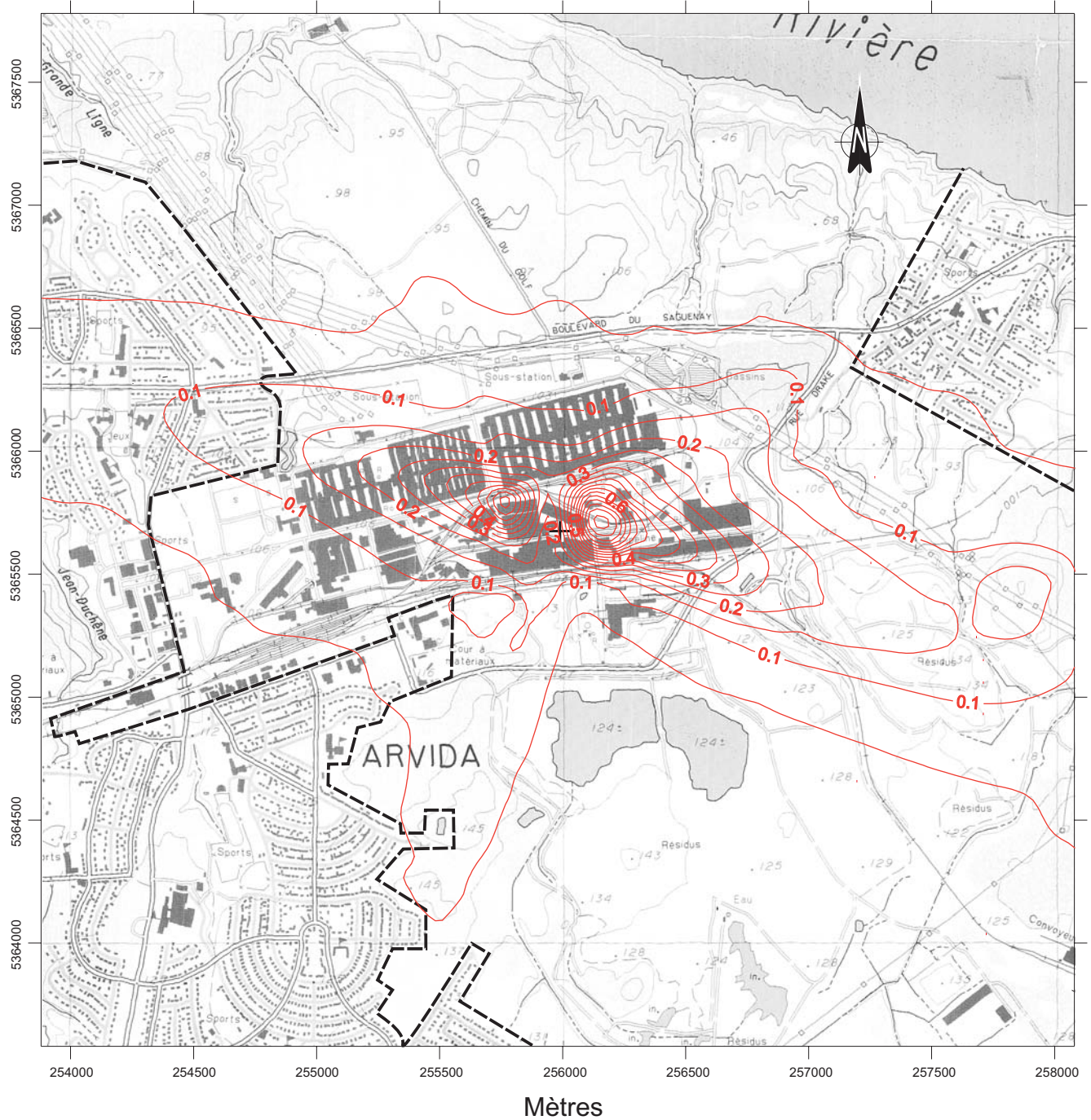
**CONCENTRATIONS MOYENNES ANNUELLES  
DE PARTICULES ( $\mu\text{g}/\text{m}^3$ ) - Année 1996**





PROJET : 7953

DATE : Août 2001

FIGURE : E-4.1



**LÉGENDE :**

-  Courbes de concentrations
-  Limite de propriété

ÉCHELLE 1 : 25 000



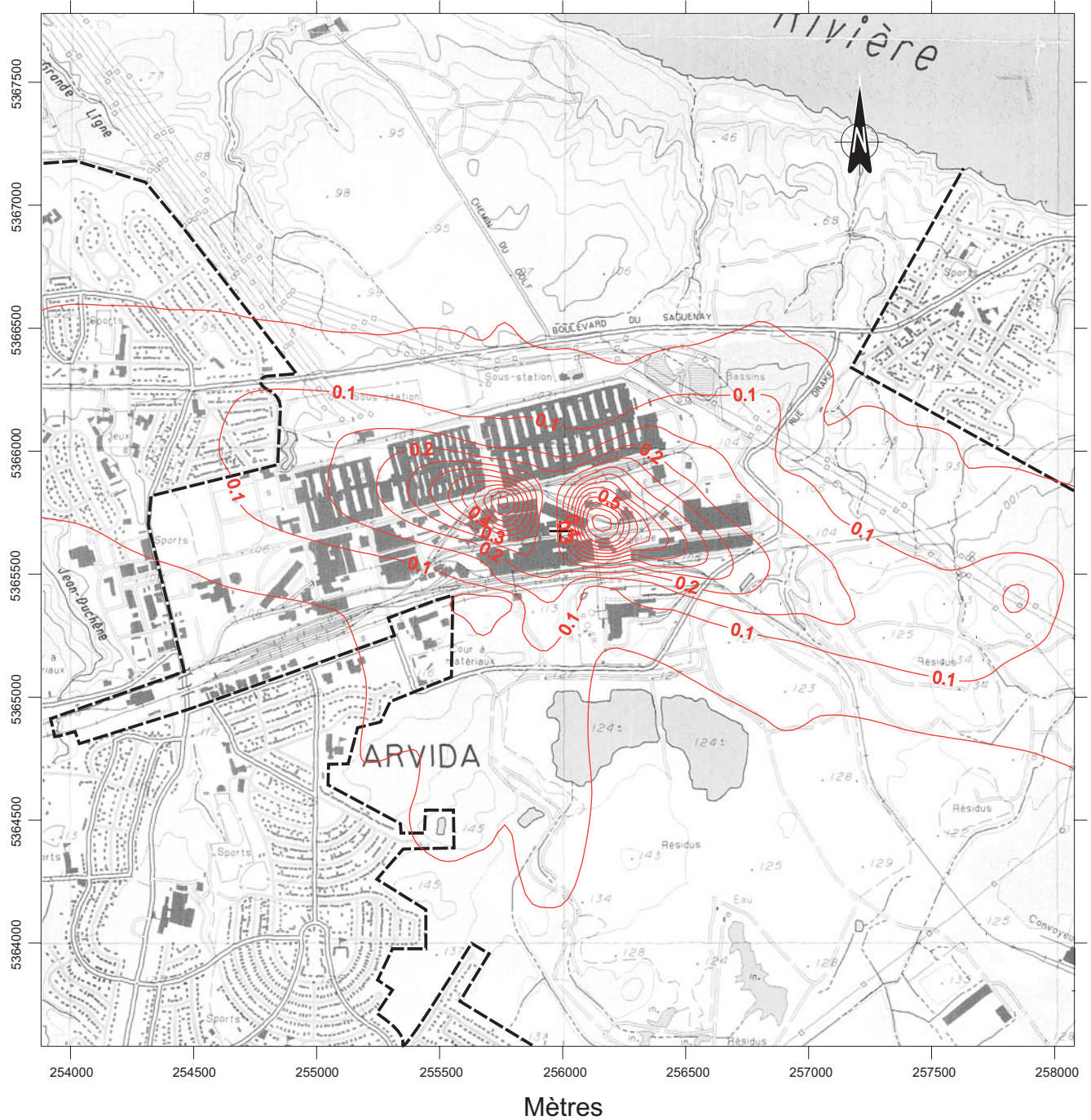
**CONCENTRATIONS MOYENNES ANNUELLES  
DE PARTICULES ( $\mu\text{g}/\text{m}^3$ ) - Année 1997**





PROJET : 7953

DATE : Août 2001

FIGURE : E-4.2



**LÉGENDE :**

-  Courbes de concentrations
-  Limite de propriété

ÉCHELLE 1 : 25 000



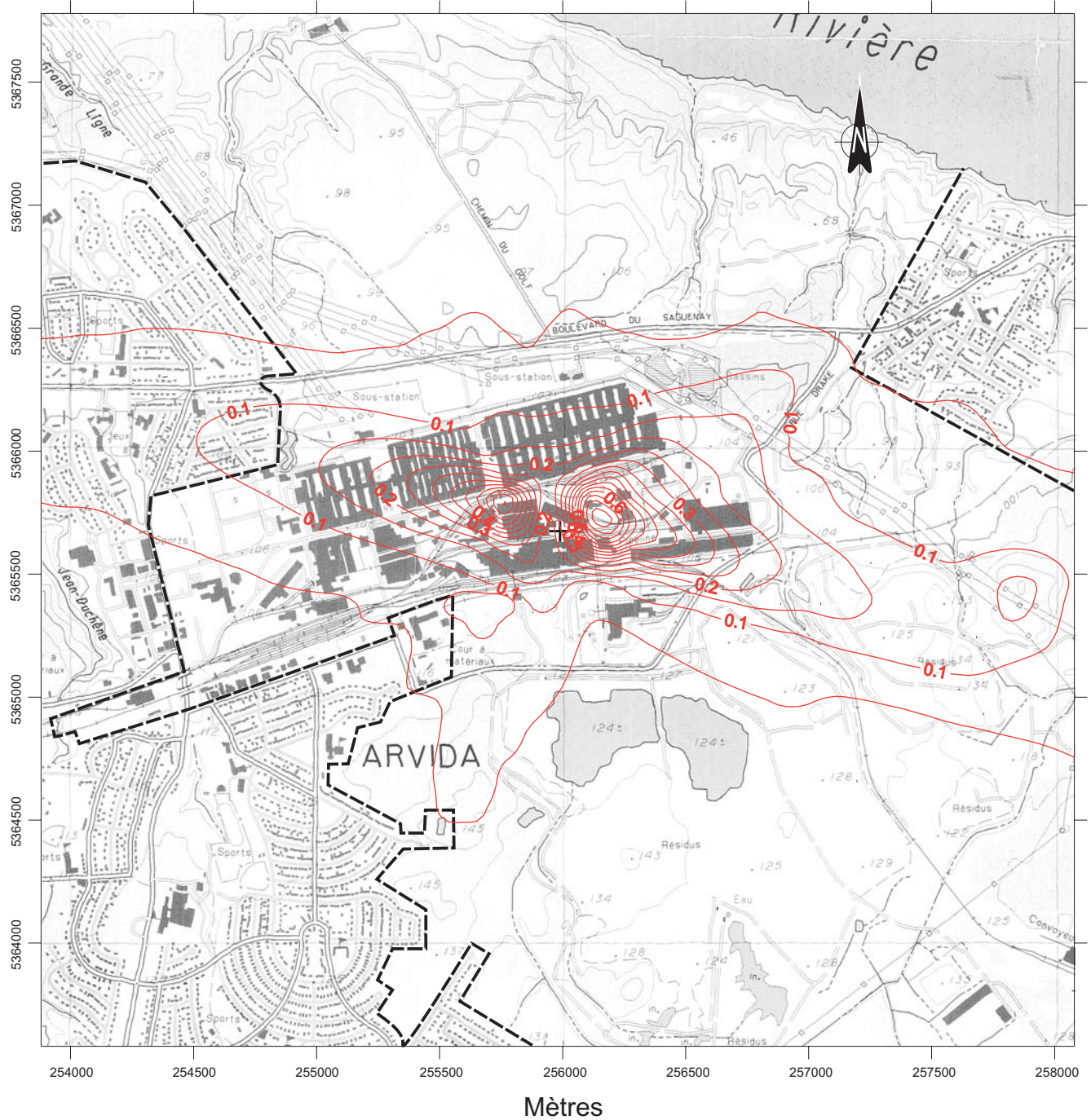
**CONCENTRATIONS MOYENNES ANNUELLES  
DE PARTICULES ( $\mu\text{g}/\text{m}^3$ ) - Année 1998**





PROJET : 7953

DATE : Août 2001

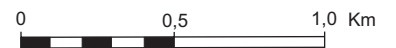
FIGURE : E-4.3



**LÉGENDE :**

-  Courbes de concentrations
-  Limite de propriété

ÉCHELLE 1 : 25 000



**CONCENTRATIONS MOYENNES ANNUELLES  
DE PARTICULES ( $\mu\text{g}/\text{m}^3$ ) - Année 1999**



PROJET : 7953

DATE : Août 2001

FIGURE : E-4.4

## ANNEXE E-5

**Tableau: E-5.1 Tableau des 50 résultats les plus élevés de concentration d'ammoniac sur une base horaire en 1996**

Rang	Concentration ( $\mu\text{g}/\text{m}^3$ )	Coordonnées récepteur (m)		Date	Heure	Direction des vents (°)	Vitesse (m/s)	Température (°C)	Classe de stabilité (1 à 6)	Hauteur mélange (rural) (m)	Pourcentage du critère (%)
		X	Y								
1	1305	255580	5364478	1996-05-10	24	198	1,00	4,6	7	1587	40,79
2	1299	255575	5364525	1996-12-22	1	199	1,03	-8,7	6	724	40,59
3	1298	255575	5364525	1996-02-08	5	200	1,00	-4,3	6	1715	40,55
4	1288	255575	5364525	1996-05-28	2	200	1,03	2,9	6	2439	40,26
5	1272	255480	5364478	1996-07-16	21	202	1,03	18,5	6	2423	39,76
6	1268	255580	5364478	1996-12-22	1	199	1,03	-8,7	6	724	39,62
7	1242	255550	5365400	1996-06-01	24	234	1,00	17,4	6	3087	38,80
8	1225	255480	5364478	1996-02-01	22	202	1,00	-26,0	6	1495	38,29
9	1209	255550	5365400	1996-07-04	24	234	1,03	14,0	6	1227	37,78
10	1185	255480	5364378	1996-08-09	23	201	1,03	16,3	6	1929	37,05
11	1184	255580	5365178	1996-02-01	3	217	1,00	-26,5	6	1431	37,01
12	1169	255480	5364378	1996-09-23	22	201	1,03	5,2	6	1044	36,54
13	1157	255480	5364378	1996-02-22	18	201	1,03	-2,6	6	835	36,15
14	1155	255580	5364378	1996-05-10	24	198	1,00	4,6	7	1587	36,09
15	1154	255480	5364378	1996-02-08	4	201	1,03	-4,3	6	1779	36,07
16	1148	255580	5365178	1996-02-19	21	218	1,00	-12,6	6	1085	35,86
17	1137	255580	5365178	1996-07-30	3	218	1,03	12,4	6	1869	35,52
18	1115	255480	5365078	1996-08-15	21	219	1,00	16,3	6	1470	34,83
19	1086	255480	5365078	1996-01-31	20	219	1,00	-23,2	6	1666	33,94
20	1084	255480	5365078	1996-09-29	23	219	1,03	9,6	6	1590	33,87
21	1082	255580	5365078	1996-03-17	23	214	1,03	-7,6	6	1865	33,82
22	1073	255480	5365078	1996-01-17	18	219	1,03	-3,7	6	2168	33,54
23	1072	255380	5364478	1996-11-23	21	206	1,03	-13,2	6	1188	33,50
24	1061	255480	5365078	1996-02-19	21	218	1,00	-12,6	6	1085	33,16
25	1059	255480	5365078	1996-07-30	3	218	1,03	12,4	6	1869	33,08
26	1058	255550	5365400	1996-03-27	19	235	1,00	-10,4	6	3591	33,05
27	1057	255575	5364525	1996-05-10	24	198	1,00	4,6	7	1587	33,04
28	1042	255480	5364378	1996-07-16	21	202	1,03	18,5	6	2423	32,55
29	1027	255380	5364978	1996-09-18	3	220	1,00	6,8	6	1849	32,09
30	1026	255380	5364978	1996-08-15	21	219	1,00	16,3	6	1470	32,07
31	1019	255480	5364378	1996-02-08	5	200	1,00	-4,3	6	1715	31,85
32	1011	255480	5364378	1996-02-01	22	202	1,00	-26,0	6	1495	31,58
33	1010	255480	5364378	1996-05-28	2	200	1,03	2,9	6	2439	31,57
34	1010	255480	5365278	1996-05-04	21	229	1,03	5,2	6	1754	31,57
35	1009	255480	5365278	1996-05-11	2	229	1,03	4,0	7	1502	31,54
36	1003	255280	5364878	1996-09-18	3	220	1,00	6,8	6	1849	31,35
37	1000	255380	5364978	1996-09-29	23	219	1,03	9,6	6	1590	31,25
38	997	255480	5365178	1996-04-02	24	223	1,03	-4,9	7	3075	31,17
39	997	255580	5364478	1996-02-08	5	200	1,00	-4,3	6	1715	31,16
40	994	255380	5364978	1996-01-31	20	219	1,00	-23,2	6	1666	31,05
41	993	255380	5364278	1996-12-03	17	204	1,00	0,1	6	981	31,02
42	990	255580	5364478	1996-05-28	2	200	1,03	2,9	6	2439	30,93
43	987	255380	5364978	1996-01-17	18	219	1,03	-3,7	6	2168	30,85
44	983	255550	5365400	1996-10-14	4	234	1,00	8,5	5	3986	30,73
45	981	255580	5365078	1996-06-06	19	213	1,03	16,3	5	2430	30,66
46	981	255480	5364478	1996-12-03	17	204	1,00	0,1	6	981	30,65
47	979	255575	5364525	1996-08-09	23	201	1,03	16,3	6	1929	30,59
48	973	255380	5364278	1996-10-17	3	204	1,03	-1,0	6	1905	30,41
49	969	255580	5365178	1996-01-31	19	216	1,00	-22,6	6	1699	30,28
50	969	255380	5365078	1996-04-14	24	224	1,03	-2,1	6	1800	30,27



## ANNEXE E-5

**Tableau: E-5.2 Tableau des 50 résultats les plus élevés de concentration d'ammoniac sur une base horaire en 1997**

Rang	Concentration ( $\mu\text{g}/\text{m}^3$ )	Coordonnées récepteur (m)		Date	Heure	Direction des vents (°)	Vitesse (m/s)	Température (°C)	Classe de stabilité (1 à 6)	Hauteur mélange (rural) (m)	Pourcentage du critère (%)
		X	Y								
1	1339	255575	5364525	1997-08-04	24	199	1,03	13,5	6	1355	41,85
2	1327	255580	5365078	1997-05-09	24	213	1,00	4,0	6	1431	41,47
3	1310	255575	5364525	1997-11-09	24	200	1,00	2,4	6	344	40,94
4	1308	255575	5364525	1997-11-06	21	200	1,00	1,3	6	317	40,87
5	1307	255580	5365078	1997-12-10	6	213	1,00	-12,6	6	745	40,86
6	1307	255580	5364478	1997-08-04	24	199	1,03	13,5	6	1355	40,84
7	1304	255575	5364525	1997-06-01	21	200	1,03	11,8	6	1297	40,74
8	1301	255480	5364478	1997-07-12	1	203	1,00	14,6	7	2553	40,65
9	1299	255480	5364478	1997-07-12	2	203	1,00	13,5	7	2524	40,58
10	1294	255580	5364478	1997-08-25	23	198	1,03	11,8	7	2625	40,43
11	1270	255575	5364525	1997-02-14	1	200	1,00	-27,6	7	491	39,68
12	1235	255580	5364378	1997-11-06	20	197	1,00	1,3	6	314	38,58
13	1228	255580	5365078	1997-11-10	1	212	1,00	1,8	6	357	38,39
14	1225	255480	5364478	1997-02-14	2	202	1,00	-26,0	7	478	38,29
15	1220	255580	5364378	1997-05-13	23	197	1,03	6,3	6	877	38,14
16	1217	255600	5364325	1997-06-01	22	196	1,00	9,0	7	1306	38,04
17	1207	255580	5364378	1997-01-02	23	197	1,00	-17,6	6	377	37,71
18	1204	255580	5365178	1997-04-18	4	217	1,00	-3,7	7	1156	37,62
19	1202	255580	5364378	1997-02-09	4	197	1,00	-22,1	6	475	37,56
20	1197	255580	5365178	1997-12-25	8	217	1,00	-10,4	6	36	37,40
21	1189	255480	5364378	1997-07-02	2	201	1,03	18,5	7	1138	37,17
22	1188	255580	5365178	1997-02-04	2	217	1,00	-21,0	7	526	37,13
23	1186	255580	5365178	1997-09-09	4	217	1,03	7,9	7	1526	37,07
24	1180	255600	5364325	1997-01-09	19	196	1,00	-16,5	6	438	36,87
25	1175	255600	5364325	1997-02-04	3	196	1,00	-21,5	7	509	36,71
26	1173	255600	5364325	1997-02-09	3	196	1,00	-23,2	7	470	36,66
27	1144	255580	5364378	1997-08-25	23	198	1,03	11,8	7	2625	35,76
28	1137	255380	5364278	1997-07-12	1	203	1,00	14,6	7	2553	35,54
29	1136	255380	5364278	1997-07-12	2	203	1,00	13,5	7	2524	35,49
30	1131	255550	5365400	1997-07-08	24	233	1,00	14,0	6	1247	35,36
31	1110	255580	5365078	1997-11-30	22	214	1,00	-8,7	6	880	34,68
32	1085	255380	5364478	1997-02-09	7	206	1,00	-21,5	7	490	33,91
33	1066	255600	5364325	1997-11-06	22	195	1,03	1,3	6	321	33,30
34	1062	255380	5364478	1997-11-07	21	207	1,00	2,9	7	406	33,18
35	1061	255600	5364325	1997-01-02	22	195	1,00	-17,6	6	369	33,15
36	1047	255575	5364525	1997-08-25	23	198	1,03	11,8	7	2625	32,73
37	1043	255380	5364478	1997-12-10	4	207	1,00	-12,6	6	742	32,60
38	1038	255380	5364478	1997-02-09	8	207	1,00	-19,3	6	65	32,42
39	1029	255480	5364378	1997-11-09	24	200	1,00	2,4	6	344	32,16
40	1027	255480	5364378	1997-11-06	21	200	1,00	1,3	6	317	32,10
41	1021	255480	5364378	1997-06-01	21	200	1,03	11,8	6	1297	31,91
42	1020	255380	5364478	1997-03-05	6	207	1,03	-16,0	6	756	31,88
43	1018	255580	5364378	1997-06-01	22	196	1,00	9,0	7	1306	31,81
44	1014	255600	5364325	1997-11-06	20	197	1,00	1,3	6	314	31,68
45	1011	255480	5364378	1997-02-14	2	202	1,00	-26,0	7	478	31,58
46	1008	255380	5364978	1997-12-25	3	220	1,00	-15,4	7	564	31,51
47	1007	255580	5364478	1997-11-09	24	200	1,00	2,4	6	344	31,45
48	1005	255580	5364478	1997-11-06	21	200	1,00	1,3	6	317	31,40
49	1003	255380	5364278	1997-08-08	4	204	1,00	7,9	7	2637	31,34
50	1002	255600	5364325	1997-05-13	23	197	1,03	6,3	6	877	31,31

## ANNEXE E-5

**Tableau: E-5.3 Tableau des 50 résultats les plus élevés de concentration d'ammoniac sur une base horaire en 1998**

Rang	Concentration ( $\mu\text{g}/\text{m}^3$ )	Coordonnées récepteur (m)		Date	Heure	Direction des vents (°)	Vitesse (m/s)	Température (°C)	Classe de stabilité (1 à 6)	Hauteur mélange (rural) (m)	Pourcentage du critère (%)
		X	Y								
1	1334	255580	5364478	1998-02-20	24	198,7	1,00	-3,4	6	886	41,67
2	1302	255575	5364525	1998-08-12	24	199,4	1,11	12,2	6	1550	40,67
3	1285	255580	5365078	1998-01-28	5	212,4	1,00	-11,3	6	370	40,16
4	1273	255575	5364525	1998-02-20	24	198,7	1,00	-3,4	6	886	39,78
5	1243	255580	5364478	1998-12-05	23	198,4	1,11	-6,6	6	741	38,85
6	1214	255600	5364325	1998-05-10	6	195,9	1,00	5,2	6	1328	37,94
7	1211	255580	5365178	1998-02-11	7	217,3	1,00	-12,3	6	447	37,85
8	1204	255580	5365178	1998-02-11	8	217,1	1,00	-12,0	6	10	37,61
9	1195	255480	5364378	1998-10-10	21	201	1,00	7,9	6	983	37,34
10	1181	255575	5364525	1998-10-17	21	200,5	1,00	9,6	6	715	36,90
11	1172	255480	5364378	1998-03-06	20	200,9	1,00	-5,6	6	1181	36,62
12	1169	255600	5364325	1998-11-06	5	195,4	1,00	0,6	6	1132	36,54
13	1162	255480	5364478	1998-01-18	2	203,4	1,00	-17,9	6	873	36,31
14	1154	255580	5364478	1998-08-12	24	199,4	1,11	12,2	6	1550	36,07
15	1154	255480	5364378	1998-10-17	21	200,5	1,00	9,6	6	715	36,06
16	1152	255580	5365078	1998-09-19	4	211,7	1,00	9,9	6	833	36,01
17	1147	255580	5365078	1998-04-05	3	213,9	1,00	-1,2	6	1293	35,84
18	1119	255480	5364478	1998-12-09	24	203,3	1,11	-10,0	6	798	34,96
19	1114	255380	5364478	1998-08-12	1	205,9	1,00	11,7	6	1560	34,81
20	1109	255480	5365078	1998-03-08	1	218,9	1,00	-4,4	6	1371	34,66
21	1106	255580	5365178	1998-01-28	3	218,2	1,00	-12,2	6	364	34,56
22	1105	255575	5364525	1998-12-05	23	198,4	1,11	-6,6	6	741	34,53
23	1105	255580	5365078	1998-12-24	8	212	1,11	-13,0	6	10	34,52
24	1101	255580	5365178	1998-01-06	24	217,4	1,11	-15,4	6	1589	34,41
25	1098	255480	5364478	1998-05-11	1	201,6	1,11	7,1	6	1689	34,30
26	1097	255580	5365178	1998-10-24	6	217,7	1,11	2,1	6	370	34,29
27	1096	255600	5364325	1998-01-06	4	196	1,11	-14,5	6	1020	34,26
28	1092	255580	5365178	1998-12-31	18	217,5	1,11	-26,0	6	649	34,12
29	1089	255480	5365078	1998-01-28	3	218,2	1,00	-12,2	6	364	34,04
30	1075	255380	5364278	1998-01-18	2	203,4	1,00	-17,9	6	873	33,60
31	1071	255550	5365400	1998-01-23	8	233,4	1,11	-28,6	6	10	33,48
32	1063	255380	5364478	1998-08-13	23	206,4	1,11	11,5	6	1612	33,21
33	1062	255480	5364378	1998-05-11	1	201,6	1,11	7,1	6	1689	33,20
34	1054	255380	5364478	1998-03-05	1	207	1,00	-2,8	6	680	32,94
35	1042	255580	5365078	1998-04-05	2	211,4	1,00	-1,0	6	1328	32,55
36	1040	255380	5364978	1998-09-08	6	219,9	1,00	9,8	6	1758	32,49
37	1039	255380	5364978	1998-12-20	20	219,4	1,00	-10,2	6	1177	32,46
38	1037	255380	5364978	1998-03-08	24	219,8	1,00	-4,0	6	1838	32,40
39	1033	255480	5365078	1998-12-20	20	219,4	1,00	-10,2	6	1177	32,28
40	1017	255380	5364278	1998-12-09	24	203,3	1,11	-10,0	6	798	31,79
41	1007	255575	5364525	1998-03-06	20	200,9	1,00	-5,6	6	1181	31,48
42	1006	255480	5365178	1998-01-27	20	223,8	1,00	-14,8	6	342	31,45
43	1006	255480	5365178	1998-01-27	19	223,8	1,00	-15,2	6	339	31,44
44	1003	255600	5364325	1998-08-11	21	194,9	1,11	15,3	6	1556	31,35
45	1000	255480	5365278	1998-01-23	4	229,4	1,00	-28,2	6	1062	31,27
46	998	255280	5364878	1998-09-08	6	219,9	1,00	9,8	6	1758	31,19
47	997	255380	5365078	1998-01-27	20	223,8	1,00	-14,8	6	342	31,17
48	997	255380	5365078	1998-01-27	19	223,8	1,00	-15,2	6	339	31,16
49	996	255380	5364978	1998-03-08	1	218,9	1,00	-4,4	6	1371	31,11
50	989	255550	5365400	1998-05-27	23	232,8	1,11	10,7	6	1433	30,91

## ANNEXE E-5

**Tableau: E-5.4 Tableau des 50 résultats les plus élevés de concentration d'ammoniac sur une base horaire en 1999**

Rang	Concentration ( $\mu\text{g}/\text{m}^3$ )	Coordonnées récepteur (m)		Date	Heure	Direction des vents (°)	Vitesse (m/s)	Température (°C)	Classe de stabilité (1 à 6)	Hauteur mélange (rural) (m)	Pourcentage du critère (%)
		X	Y								
1	1376	255575	5364525	1999-11-27	6	199,3	1,00	4,8	6	1364	43,01
2	1370	255575	5364525	1999-09-26	3	199,2	1,00	4,6	6	1267	42,82
3	1357	255580	5364478	1999-05-03	5	198,6	1,00	6,1	6	2827	42,39
4	1274	255580	5364478	1999-09-26	3	199,2	1,00	4,6	6	1267	39,82
5	1265	255575	5364525	1999-05-03	5	198,6	1,00	6,1	6	2827	39,54
6	1250	255580	5364478	1999-11-27	6	199,3	1,00	4,8	6	1364	39,06
7	1232	255580	5364378	1999-05-03	4	197,6	1,00	6,9	6	2834	38,49
8	1210	255580	5364478	1999-05-03	4	197,6	1,00	6,9	6	2834	37,82
9	1208	255580	5365178	1999-05-14	24	217,7	1,00	5,0	6	1233	37,76
10	1204	255480	5364478	1999-09-22	5	201,7	1,00	6,1	6	1064	37,63
11	1200	255480	5364478	1999-07-28	3	203,1	1,11	15,9	6	1696	37,51
12	1200	255580	5365178	1999-12-03	24	217,7	1,00	-2,9	6	260	37,50
13	1187	255480	5364378	1999-06-05	5	200,8	1,00	7,7	6	2059	37,09
14	1186	255480	5364378	1999-10-26	18	200,9	1,00	3,1	6	558	37,06
15	1181	255600	5364325	1999-06-22	5	196,4	1,00	13,4	6	2646	36,91
16	1147	255580	5364378	1999-06-22	5	196,4	1,00	13,4	6	2646	35,86
17	1135	255380	5364478	1999-05-16	6	206,5	1,00	10,3	6	1985	35,46
18	1123	255380	5364478	1999-09-08	4	205,9	1,00	18,4	6	834	35,08
19	1118	255480	5364378	1999-09-22	5	201,7	1,00	6,1	6	1064	34,95
20	1110	255580	5365178	1999-08-20	19	217,7	1,11	23,7	6	1786	34,69
21	1107	255480	5364478	1999-04-06	6	201,7	1,11	-3,8	6	1358	34,59
22	1106	255550	5365400	1999-08-03	4	232,9	1,00	12,5	6	1687	34,57
23	1105	255575	5364525	1999-09-16	21	199,3	1,39	12,2	6	933	34,53
24	1104	255480	5365078	1999-02-11	19	218,9	1,00	-10,6	6	604	34,49
25	1100	255380	5364478	1999-04-03	1	206,7	1,00	-3,3	6	892	34,37
26	1074	255550	5365400	1999-06-20	23	233,2	1,11	14,0	6	2845	33,55
27	1068	255580	5365178	1999-02-04	5	217,9	1,11	-2,7	6	1056	33,36
28	1066	255575	5364525	1999-06-05	5	200,8	1,00	7,7	6	2059	33,30
29	1057	255380	5364278	1999-07-28	3	203,1	1,11	15,9	6	1696	33,04
30	1048	255480	5365178	1999-08-04	1	223,5	1,00	10,2	6	1826	32,74
31	1042	255380	5364978	1999-03-15	3	219,4	1,00	-6,5	6	633	32,57
32	1041	255380	5364978	1999-12-04	24	219,8	1,00	-0,1	6	534	32,53
33	1036	255480	5365078	1999-03-15	3	219,4	1,00	-6,5	6	633	32,36
34	1031	255480	5365178	1999-09-19	4	223,7	1,00	3,2	6	1676	32,23
35	1029	255480	5364378	1999-04-06	6	201,7	1,11	-3,8	6	1358	32,17
36	1025	255480	5365278	1999-04-16	2	229,3	1,00	-0,6	6	1477	32,04
37	1024	255480	5365078	1999-05-14	24	217,7	1,00	5,0	6	1233	32,00
38	1023	255480	5365278	1999-08-24	1	228,7	1,00	18,0	6	2368	31,96
39	1022	255380	5365078	1999-08-04	1	223,5	1,00	10,2	6	1826	31,94
40	1019	255575	5364525	1999-10-26	18	200,9	1,00	3,1	6	558	31,85
41	1018	255380	5365078	1999-09-19	4	223,7	1,00	3,2	6	1676	31,82
42	1017	255380	5364378	1999-08-25	4	204,7	1,00	15,6	6	2075	31,77
43	1016	255280	5364878	1999-06-29	20	220,2	1,00	20,5	6	1438	31,75
44	1015	255550	5365400	1999-06-25	21	235,2	1,00	17,6	6	1156	31,72
45	1013	255480	5365078	1999-12-03	24	217,7	1,00	-2,9	6	260	31,65
46	1003	255380	5364978	1999-06-29	20	220,2	1,00	20,5	6	1438	31,35
47	1002	255280	5364978	1999-09-19	4	223,7	1,00	3,2	6	1676	31,33
48	1002	255580	5364478	1999-09-16	21	199,3	1,39	12,2	6	933	31,33
49	1002	255380	5364478	1999-02-15	7	205,9	1,11	-18,4	6	401	31,32
50	997	255280	5364978	1999-08-04	1	223,5	1,00	10,2	6	1826	31,17

## ANNEXE E-5

**Tableau: E-5.5 Tableau des 50 résultats les plus élevés de concentration d'ammoniac sur une base horaire en 2000**

Rang	Concentration ( $\mu\text{g}/\text{m}^3$ )	Coordonnées récepteur (m)		Date	Heure	Direction des vents (°)	Vitesse (m/s)	Température (°C)	Classe de stabilité (1 à 6)	Hauteur mélange (rural) (m)	Pourcentage du critère (%)
		X	Y								
1	1352	255575	5364525	2000-04-22	4	199,1	1,00	0,4	6	1543	42,25
2	1346	255575	5364525	2000-11-05	2	199	1,00	3,6	6	738	42,06
3	1335	255580	5364478	2000-10-05	21	198,2	1,00	4,3	6	1347	41,73
4	1313	255580	5364478	2000-11-05	2	199	1,00	3,6	6	738	41,02
5	1310	255580	5364478	2000-01-19	22	198,4	1,00	-20,7	6	374	40,94
6	1288	255580	5364478	2000-04-22	4	199,1	1,00	0,4	6	1543	40,24
7	1251	255580	5365078	2000-11-08	3	212,1	1,00	1,5	6	887	39,08
8	1243	255480	5364478	2000-04-15	21	201,9	1,00	0,8	6	918	38,86
9	1238	255550	5365400	2000-10-26	19	233,9	1,00	9,2	6	492	38,67
10	1234	255575	5364525	2000-11-01	23	199,9	1,11	-3,2	6	348	38,56
11	1229	255580	5365178	2000-08-29	19	217,1	1,00	18,8	6	703	38,42
12	1228	255575	5364525	2000-01-10	1	199,9	1,11	-6,8	6	1338	38,38
13	1203	255580	5365178	2000-01-01	3	217,5	1,00	-18,2	6	791	37,59
14	1185	255580	5365078	2000-01-31	2	213,1	1,11	-13,5	6	901	37,04
15	1184	255580	5364378	2000-11-06	23	196,6	1,00	5,8	6	974	37,00
16	1168	255480	5364478	2000-08-03	19	203,3	1,11	21,2	6	1323	36,50
17	1164	255575	5364525	2000-01-19	22	198,4	1,00	-20,7	6	374	36,36
18	1163	255480	5364478	2000-01-19	23	201,7	1,00	-20,3	6	382	36,35
19	1162	255480	5364378	2000-01-25	17	200,8	1,00	-9,0	6	658	36,31
20	1159	255480	5364478	2000-11-08	24	203,5	1,00	1,4	6	967	36,22
21	1155	255580	5364378	2000-03-10	20	196,6	1,00	-12,4	6	966	36,10
22	1149	255600	5364325	2000-02-18	8	195,5	1,00	-26,3	6	10	35,92
23	1149	255580	5365178	2000-04-12	1	218	1,00	-10,2	6	955	35,92
24	1144	255580	5365178	2000-01-01	4	218	1,00	-18,4	6	774	35,74
25	1138	255580	5365078	2000-04-08	6	212,1	1,11	-1,9	6	1024	35,57
26	1134	255480	5364478	2000-02-11	2	203,5	1,00	-17,2	6	837	35,44
27	1134	255575	5364525	2000-10-05	21	198,2	1,00	4,3	6	1347	35,42
28	1130	255600	5364325	2000-11-06	23	196,6	1,00	5,8	6	974	35,31
29	1104	255600	5364325	2000-03-10	20	196,6	1,00	-12,4	6	966	34,51
30	1104	255580	5365178	2000-01-29	19	218,2	1,00	-15,2	6	333	34,50
31	1101	255580	5364378	2000-10-05	21	198,2	1,00	4,3	6	1347	34,41
32	1089	255380	5364278	2000-11-08	24	203,5	1,00	1,4	6	967	34,03
33	1087	255480	5365078	2000-01-29	19	218,2	1,00	-15,2	6	333	33,96
34	1086	255480	5364378	2000-01-19	23	201,7	1,00	-20,3	6	382	33,95
35	1081	255550	5365400	2000-07-14	24	232,8	1,00	14,6	6	2134	33,78
36	1069	255550	5365400	2000-03-04	19	232,8	1,00	-1,1	6	809	33,39
37	1066	255380	5364278	2000-02-11	2	203,5	1,00	-17,2	6	837	33,30
38	1064	255480	5364378	2000-04-15	21	201,9	1,00	0,8	6	918	33,24
39	1063	255480	5365078	2000-04-12	1	218	1,00	-10,2	6	955	33,23
40	1061	255380	5364278	2000-08-03	19	203,3	1,11	21,2	6	1323	33,15
41	1060	255600	5364325	2000-11-02	21	194,9	1,00	2,0	6	428	33,12
42	1057	255580	5365178	2000-02-05	6	216,3	1,00	-21,9	6	1041	33,02
43	1056	255480	5365078	2000-01-01	4	218	1,00	-18,4	6	774	33,00
44	1050	255480	5365178	2000-06-15	4	223,2	1,00	15,7	6	1042	32,82
45	1046	255380	5364478	2000-08-08	4	205,5	1,00	16,0	6	1063	32,68
46	1043	255575	5364525	2000-01-25	17	200,8	1,00	-9,0	6	658	32,59
47	1041	255480	5365178	2000-10-07	2	223,5	1,00	0,3	6	1107	32,52
48	1020	255580	5365178	2000-07-10	1	216,4	1,11	14,9	6	1336	31,89
49	1015	255380	5365078	2000-10-07	2	223,5	1,00	0,3	6	1107	31,72
50	1014	255480	5365278	2000-04-23	21	229,5	1,00	3,1	6	952	31,69

**ANNEXE E-5**

**Tableau: E-5.6**      **Tableau des 50 résultats les plus élevés de concentration d'ammoniac sur une base annuelle en 1996**

Rang	Concentration ( $\mu\text{g}/\text{m}^3$ )	Coordonnées récepteur (m)		Pourcentage du critère (%)
		X	Y	
1	8,247	254780	5366178	8,25
2	8,219	254780	5366078	8,22
3	7,734	254780	5365978	7,73
4	7,710	254680	5366178	7,71
5	7,450	254680	5366078	7,45
6	7,286	254850	5365900	7,29
7	7,264	254839	5366274	7,26
8	7,231	254780	5366278	7,23
9	7,118	254680	5366278	7,12
10	7,112	254580	5366178	7,11
11	6,948	254680	5365978	6,95
12	6,810	254580	5366078	6,81
13	6,726	254580	5366278	6,73
14	6,519	254480	5366178	6,52
15	6,402	254480	5366278	6,40
16	6,260	254480	5366078	6,26
17	6,254	254580	5365978	6,25
18	5,990	254380	5366178	5,99
19	5,907	254380	5366278	5,91
20	5,813	255580	5365178	5,81
21	5,767	254380	5366078	5,77
22	5,647	254480	5365978	5,65
23	5,634	254680	5365878	5,63
24	5,629	254580	5366378	5,63
25	5,577	255550	5365400	5,58
26	5,537	254280	5366178	5,54
27	5,503	254680	5366378	5,50
28	5,468	254480	5366378	5,47
29	5,414	254280	5366278	5,41
30	5,316	254280	5366078	5,32
31	5,236	254380	5366378	5,24
32	5,112	254380	5365978	5,11
33	5,067	254580	5365878	5,07
34	5,054	254180	5366178	5,05
35	5,017	255480	5365078	5,02
36	4,947	254180	5366278	4,95
37	4,904	255580	5365078	4,90
38	4,903	254180	5366078	4,90
39	4,857	254280	5366378	4,86
40	4,724	254080	5366178	4,72
41	4,722	255575	5364525	4,72
42	4,653	254280	5365978	4,65
43	4,617	255480	5365278	4,62
44	4,591	254480	5365878	4,59
45	4,531	255480	5365178	4,53
46	4,525	254080	5366078	4,53
47	4,524	254080	5366278	4,52
48	4,473	254180	5366378	4,47
49	4,463	255480	5364478	4,46
50	4,425	253980	5366178	4,43

## ANNEXE E-5

**Tableau: E-5.7**      **Tableau des 50 résultats les plus élevés de concentration d'ammoniac sur une base annuelle en 1997**

Rang	Concentration ( $\mu\text{g}/\text{m}^3$ )	Coordonnées récepteur (m)		Pourcentage du critère (%)
		X	Y	
1	7,998	254780	5366078	8,00
2	7,850	254780	5365978	7,85
3	7,730	254850	5365900	7,73
4	7,404	254680	5366078	7,40
5	7,154	254780	5366178	7,15
6	7,125	254680	5365978	7,12
7	7,032	254680	5366178	7,03
8	6,851	254580	5366078	6,85
9	6,737	254580	5366178	6,74
10	6,573	255550	5365400	6,57
11	6,483	254580	5365978	6,48
12	6,350	254480	5366178	6,35
13	6,343	254480	5366078	6,34
14	6,196	254680	5365878	6,20
15	5,962	254380	5366178	5,96
16	5,928	254480	5365978	5,93
17	5,911	254839	5366274	5,91
18	5,870	254380	5366078	5,87
19	5,812	254780	5366278	5,81
20	5,783	254680	5366278	5,78
21	5,672	254580	5366278	5,67
22	5,652	254480	5366278	5,65
23	5,588	254280	5366178	5,59
24	5,574	254580	5365878	5,57
25	5,476	255580	5365178	5,48
26	5,445	254280	5366078	5,44
27	5,431	254380	5365978	5,43
28	5,413	254380	5366278	5,41
29	5,374	255480	5365278	5,37
30	5,124	254180	5366178	5,12
31	5,118	255580	5365078	5,12
32	5,106	254280	5366278	5,11
33	5,093	255575	5364525	5,09
34	5,059	255580	5364478	5,06
35	5,052	254180	5366078	5,05
36	5,040	254480	5365878	5,04
37	5,012	254280	5365978	5,01
38	4,815	254080	5366178	4,82
39	4,769	254180	5366278	4,77
40	4,697	254080	5366078	4,70
41	4,687	255480	5364478	4,69
42	4,679	255625	5365050	4,68
43	4,639	255580	5364378	4,64
44	4,639	254180	5365978	4,64
45	4,593	254680	5366378	4,59
46	4,587	255600	5364325	4,59
47	4,584	255480	5365178	4,58
48	4,582	255300	5365300	4,58
49	4,561	254380	5365878	4,56
50	4,528	253980	5366178	4,53

**ANNEXE E-5**

**Tableau: E-5.8      Tableau des 50 résultats les plus élevés de concentration d'ammoniac sur une base annuelle en 1998**

Rang	Concentration ( $\mu\text{g}/\text{m}^3$ )	Coordonnées récepteur (m)		Pourcentage du critère (%)
		X	Y	
1	6,996	254850	5365900	7,00
2	6,776	254780	5365978	6,78
3	6,433	254780	5366078	6,43
4	6,328	255550	5365400	6,33
5	6,203	254680	5365978	6,20
6	6,151	254780	5366178	6,15
7	6,096	255580	5365178	6,10
8	5,964	254680	5366078	5,96
9	5,906	254680	5365878	5,91
10	5,811	254680	5366178	5,81
11	5,677	254580	5365978	5,68
12	5,588	254580	5366078	5,59
13	5,548	254325	5365800	5,55
14	5,520	254839	5366274	5,52
15	5,468	254780	5366278	5,47
16	5,439	254580	5366178	5,44
17	5,426	254580	5365878	5,43
18	5,335	254680	5366278	5,34
19	5,261	254480	5366078	5,26
20	5,212	254480	5365978	5,21
21	5,051	254480	5366178	5,05
22	5,033	255480	5365078	5,03
23	5,006	254480	5365878	5,01
24	5,000	254580	5366278	5,00
25	4,949	254380	5366078	4,95
26	4,853	255480	5365278	4,85
27	4,813	254380	5365978	4,81
28	4,778	254480	5366278	4,78
29	4,722	254380	5366178	4,72
30	4,645	254380	5365878	4,65
31	4,642	254280	5366078	4,64
32	4,604	255480	5365178	4,60
33	4,546	255580	5365078	4,55
34	4,470	254280	5365978	4,47
35	4,449	254280	5366178	4,45
36	4,440	254380	5366278	4,44
37	4,341	254180	5366078	4,34
38	4,335	254280	5365878	4,33
39	4,240	254580	5366378	4,24
40	4,194	254680	5366378	4,19
41	4,174	255380	5364978	4,17
42	4,173	254280	5365778	4,17
43	4,171	254180	5365978	4,17
44	4,148	255380	5365278	4,15
45	4,136	254180	5366178	4,14
46	4,103	254280	5366278	4,10
47	4,067	254480	5366378	4,07
48	4,060	254180	5365878	4,06
49	4,058	254080	5366078	4,06
50	4,010	255480	5364478	4,01

**ANNEXE E-5**

**Tableau: E-5.9 Tableau des 50 résultats les plus élevés de concentration d'ammoniac sur une base annuelle en 1999**

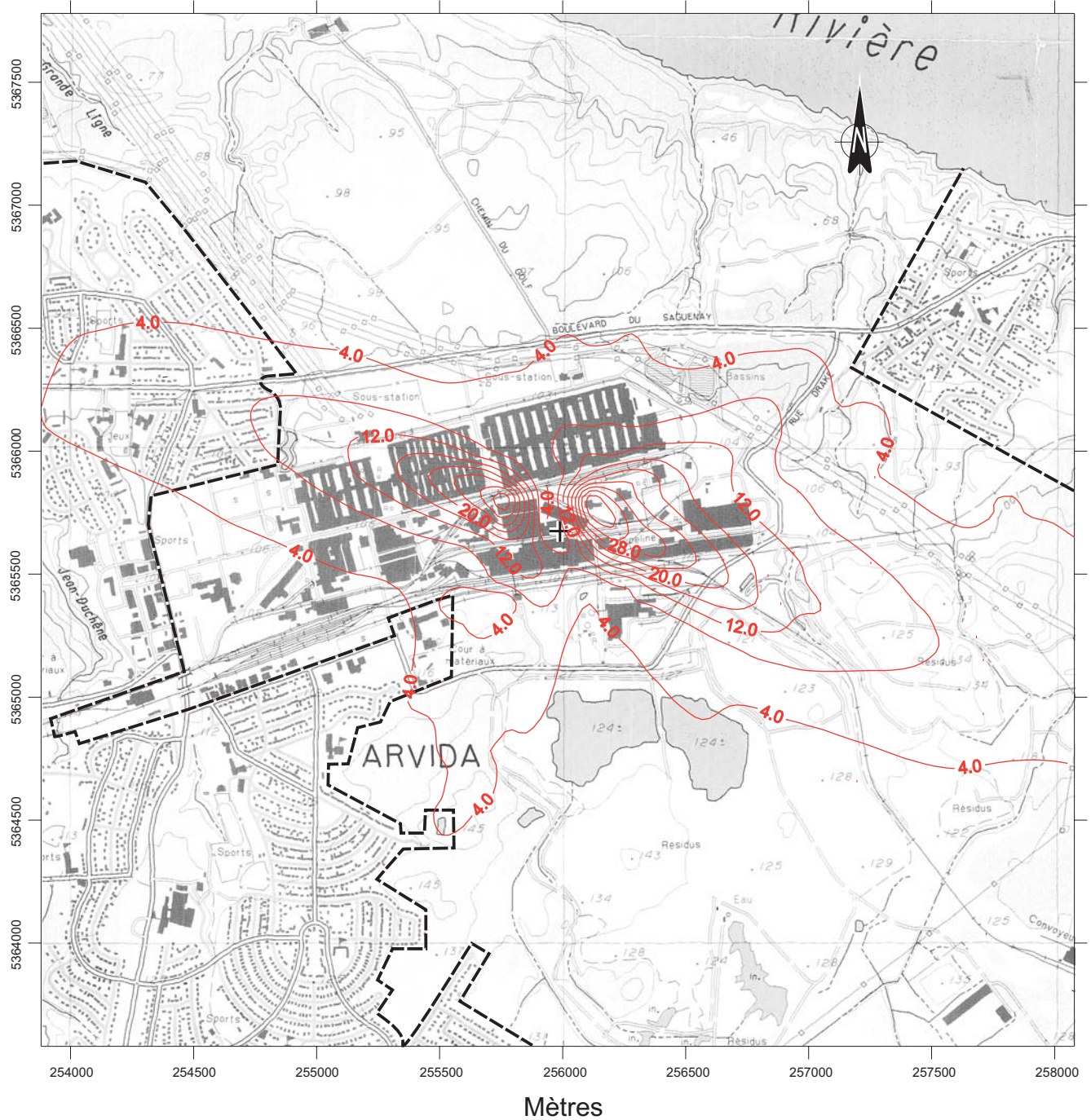
Rang	Concentration ( $\mu\text{g}/\text{m}^3$ )	Coordonnées récepteur (m)		Pourcentage du critère (%)
		X	Y	
1	7,220	254850	5365900	7,22
2	6,977	254780	5365978	6,98
3	6,482	254780	5366078	6,48
4	6,431	254680	5365978	6,43
5	6,119	254680	5366078	6,12
6	5,918	254580	5365978	5,92
7	5,842	254680	5365878	5,84
8	5,747	254580	5366078	5,75
9	5,463	254780	5366178	5,46
10	5,451	254480	5365978	5,45
11	5,408	254480	5366078	5,41
12	5,351	254680	5366178	5,35
13	5,296	254580	5365878	5,30
14	5,223	254580	5366178	5,22
15	5,092	254380	5366078	5,09
16	5,033	254480	5366178	5,03
17	5,018	254380	5365978	5,02
18	4,828	254380	5366178	4,83
19	4,823	254480	5365878	4,82
20	4,802	254280	5366078	4,80
21	4,697	255550	5365400	4,70
22	4,639	254280	5365978	4,64
23	4,601	254280	5366178	4,60
24	4,546	254680	5366278	4,55
25	4,524	254180	5366078	4,52
26	4,511	254780	5366278	4,51
27	4,502	255580	5365178	4,50
28	4,484	254839	5366274	4,48
29	4,413	254380	5365878	4,41
30	4,358	254325	5365800	4,36
31	4,347	254580	5366278	4,35
32	4,299	254180	5365978	4,30
33	4,273	254180	5366178	4,27
34	4,260	254480	5366278	4,26
35	4,260	254080	5366078	4,26
36	4,079	254380	5366278	4,08
37	4,073	254080	5366178	4,07
38	4,065	254280	5365878	4,06
39	4,029	255480	5365178	4,03
40	4,011	253980	5366078	4,01
41	3,996	254080	5365978	4,00
42	3,933	255480	5365278	3,93
43	3,896	254280	5366278	3,90
44	3,888	253980	5366178	3,89
45	3,858	253880	5366078	3,86
46	3,830	255480	5365078	3,83
47	3,809	253980	5365978	3,81
48	3,757	254180	5365878	3,76
49	3,707	255580	5365078	3,71
50	3,707	254180	5366278	3,71



**ANNEXE E-5**

**Tableau: E-5.10 Tableau des 50 résultats les plus élevés de concentration d'ammoniac sur une base annuelle en 2000**

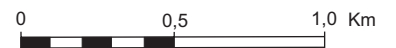
Rang	Concentration ( $\mu\text{g}/\text{m}^3$ )	Coordonnées récepteur (m)		Pourcentage du critère (%)
		X	Y	
1	7,178	254780	5366078	7,18
2	6,936	254780	5366178	6,94
3	6,882	254850	5365900	6,88
4	6,705	254780	5365978	6,71
5	6,564	254680	5366178	6,56
6	6,499	254680	5366078	6,50
7	6,140	254580	5366178	6,14
8	6,083	254680	5365978	6,08
9	5,889	254580	5366078	5,89
10	5,751	254680	5366278	5,75
11	5,716	255550	5365400	5,72
12	5,688	254480	5366178	5,69
13	5,677	254680	5365878	5,68
14	5,608	254780	5366278	5,61
15	5,585	254580	5366278	5,58
16	5,560	254580	5365978	5,56
17	5,557	254839	5366274	5,56
18	5,399	254480	5366278	5,40
19	5,377	254480	5366078	5,38
20	5,256	254380	5366178	5,26
21	5,160	254580	5365878	5,16
22	5,116	254480	5365978	5,12
23	5,112	255480	5365278	5,11
24	5,018	254380	5366278	5,02
25	4,936	254380	5366078	4,94
26	4,846	254280	5366178	4,85
27	4,729	254380	5365978	4,73
28	4,700	254480	5365878	4,70
29	4,634	254280	5366278	4,63
30	4,570	254280	5366078	4,57
31	4,523	255580	5365178	4,52
32	4,497	254325	5365800	4,50
33	4,397	254280	5365978	4,40
34	4,377	254180	5366178	4,38
35	4,305	254580	5366378	4,30
36	4,305	254380	5365878	4,30
37	4,303	254480	5366378	4,30
38	4,266	254180	5366278	4,27
39	4,253	254180	5366078	4,25
40	4,238	254380	5366378	4,24
41	4,172	255380	5365178	4,17
42	4,160	254680	5366378	4,16
43	4,100	254180	5365978	4,10
44	4,068	254080	5366178	4,07
45	4,000	255580	5365078	4,00
46	3,983	254280	5366378	3,98
47	3,978	254080	5366078	3,98
48	3,968	254280	5365878	3,97
49	3,917	254080	5366278	3,92
50	3,894	255575	5364525	3,89



**LÉGENDE :**

- Courbes de concentrations
- - - Limite de propriété

ÉCHELLE 1 : 25 000



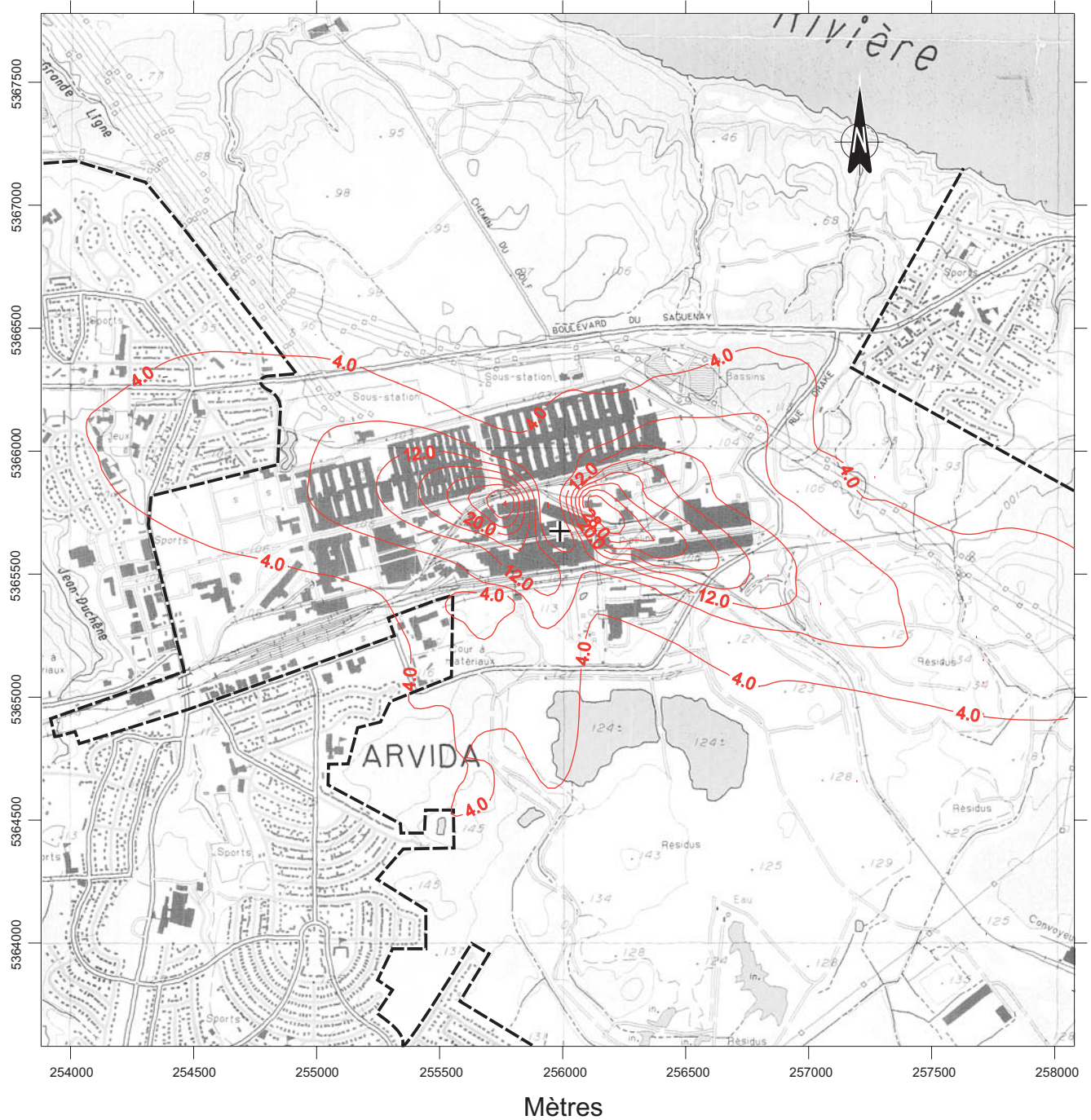
**CONCENTRATIONS MOYENNES ANNUELLES  
DE NH<sub>3</sub> (µg/m<sup>3</sup>) - Année 1996**





PROJET : 7953

DATE : Août 2001

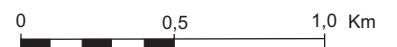
FIGURE : E-5.1



**LÉGENDE :**

-  Courbes de concentrations
-  Limite de propriété

ÉCHELLE 1 : 25 000



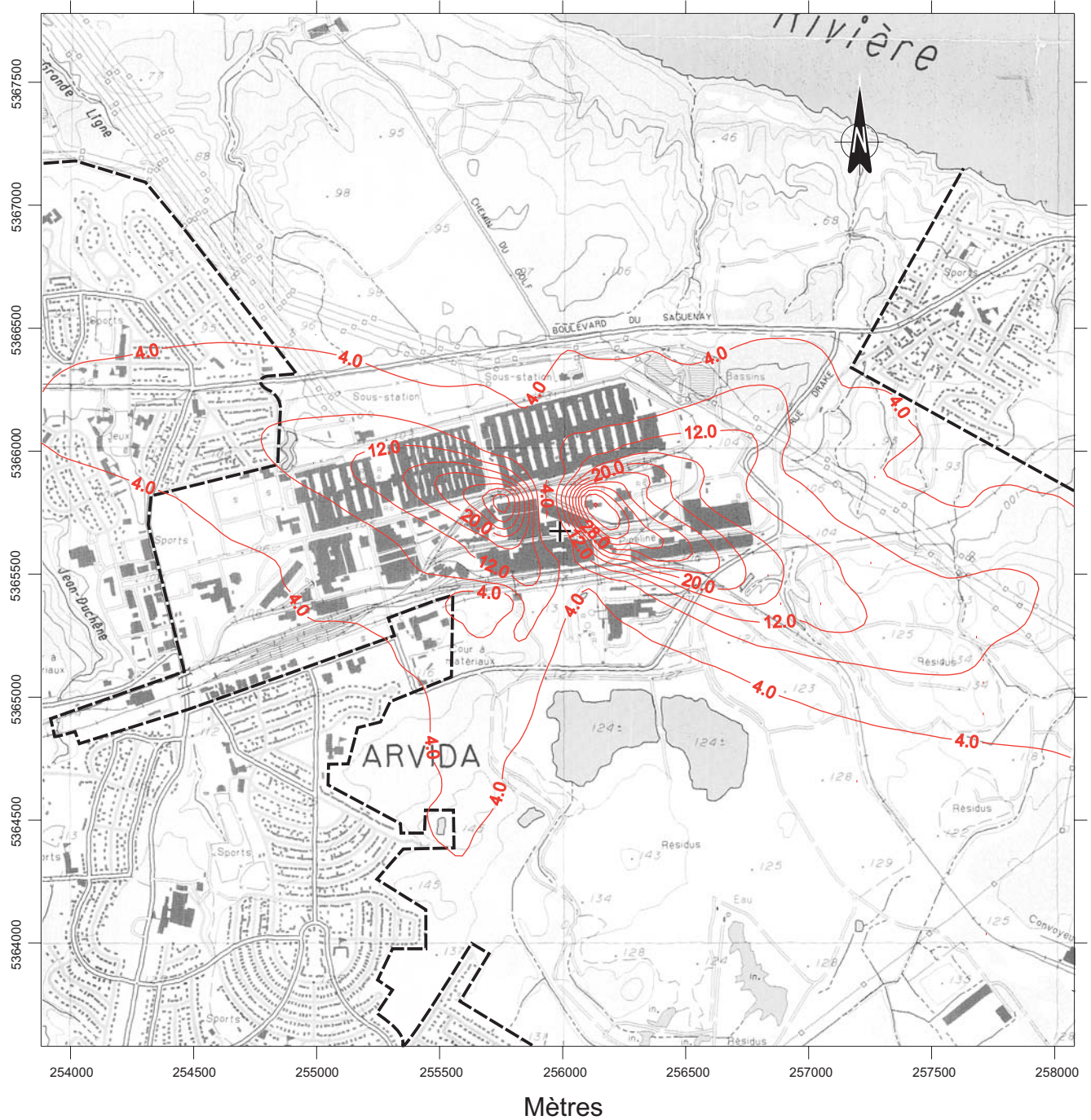
**CONCENTRATIONS MOYENNES ANNUELLES  
DE NH<sub>3</sub> (µg/m<sup>3</sup>) - Année 1998**





PROJET : 7953

DATE : Août 2001

FIGURE : E-5.3



**LÉGENDE :**

-  Courbes de concentrations
-  Limite de propriété

ÉCHELLE 1 : 25 000



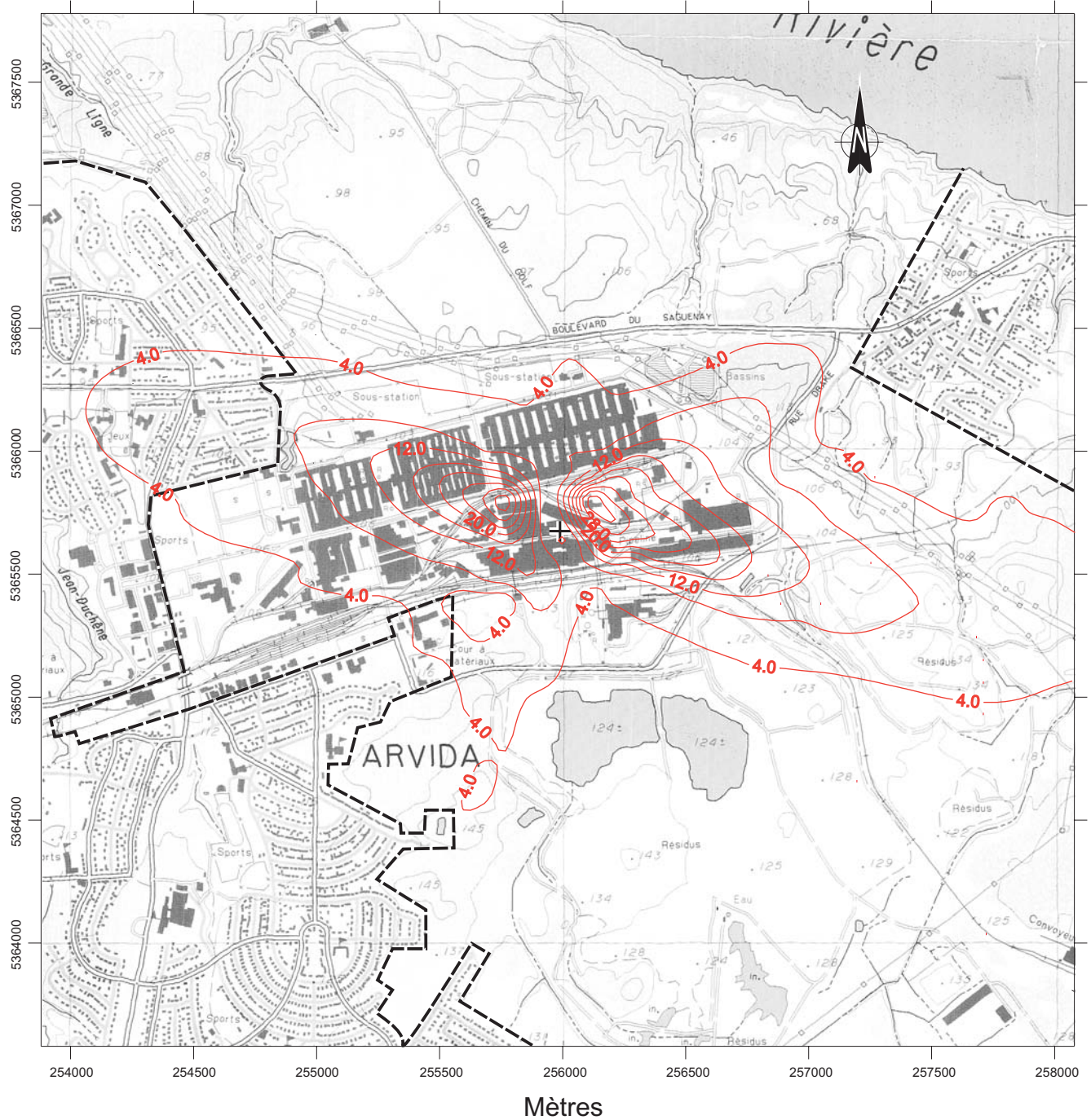
**CONCENTRATIONS MOYENNES ANNUELLES  
DE NH<sub>3</sub> (µg/m<sup>3</sup>) - Année 1997**



PROJET : 7953

DATE : Août 2001

FIGURE : E-5.2



**LÉGENDE :**

- Courbes de concentrations
- - - Limite de propriété

ÉCHELLE 1 : 25 000



**CONCENTRATIONS MOYENNES ANNUELLES  
DE NH<sub>3</sub> (µg/m<sup>3</sup>) - Année 2000**

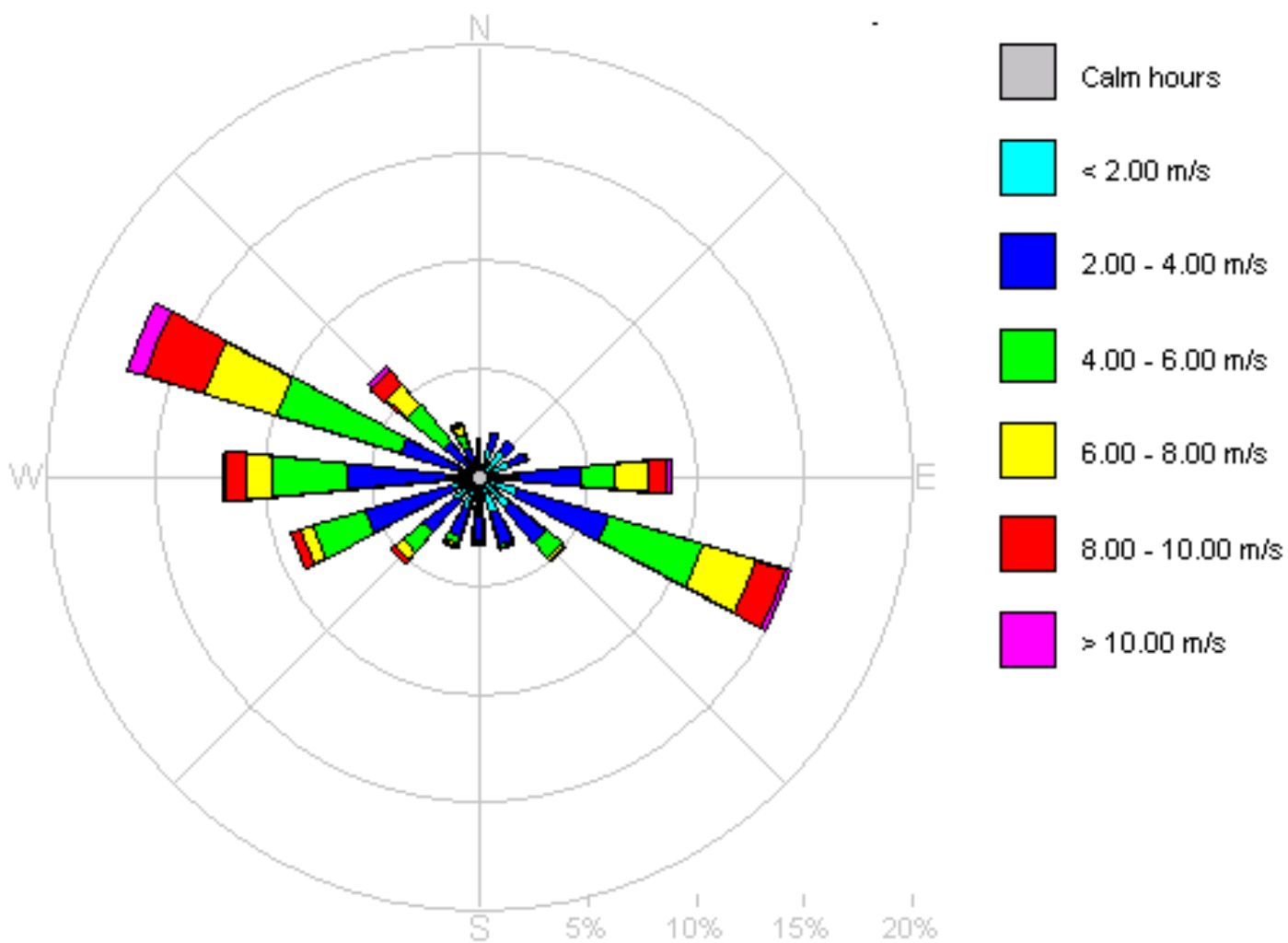


PROJET : 7953

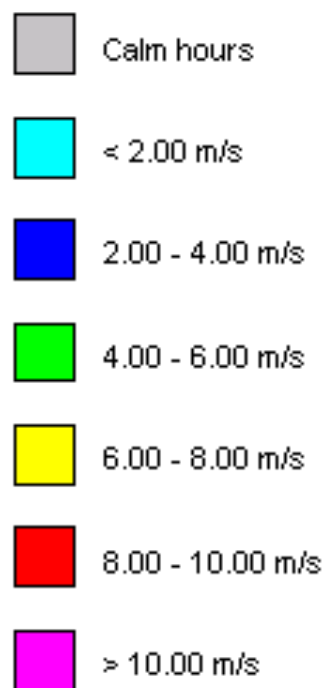
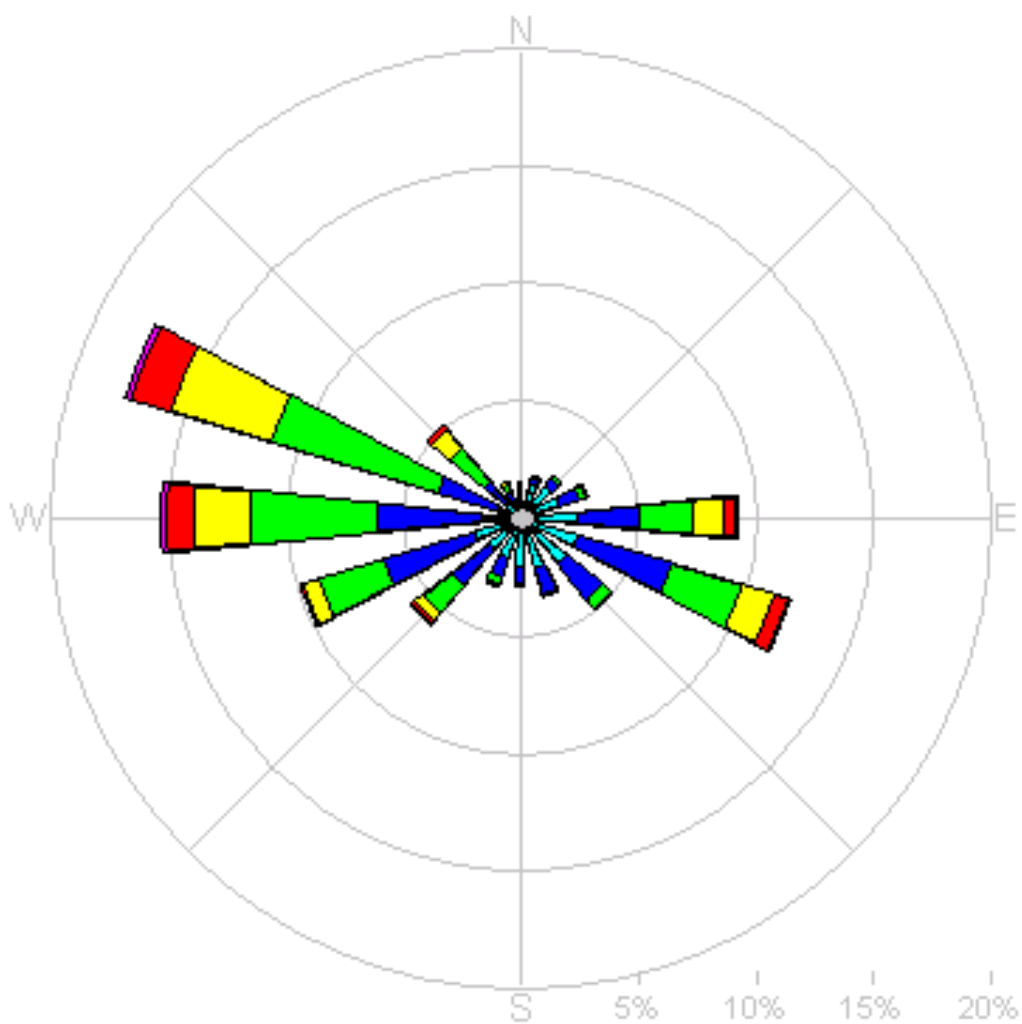
DATE : Août 2001

FIGURE : E-5.4

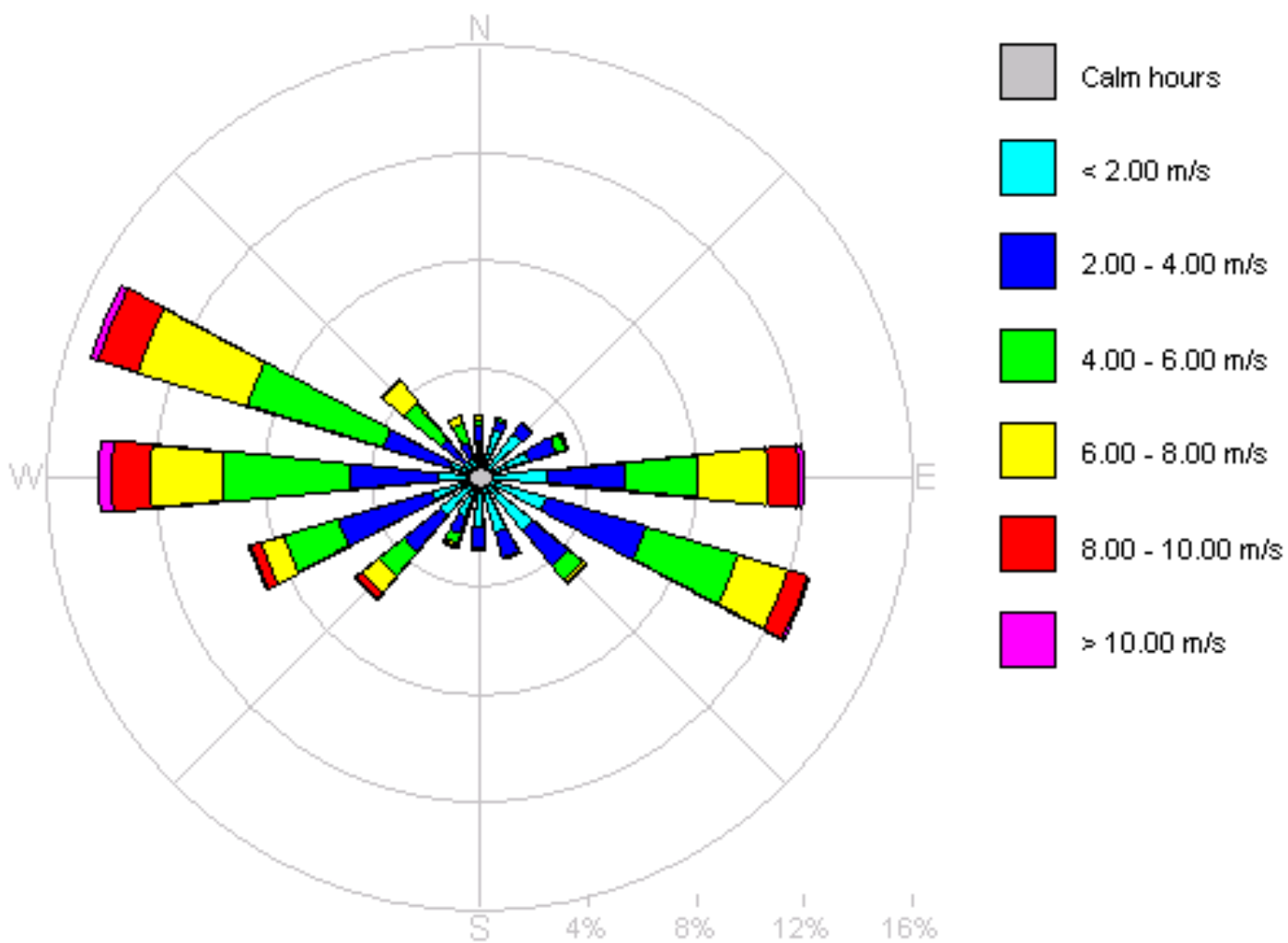
Annexe E-6  
Rose des vents - Jonquière 1996



**Annexe E-6**  
**Rose des vents - Jonquière 1997**

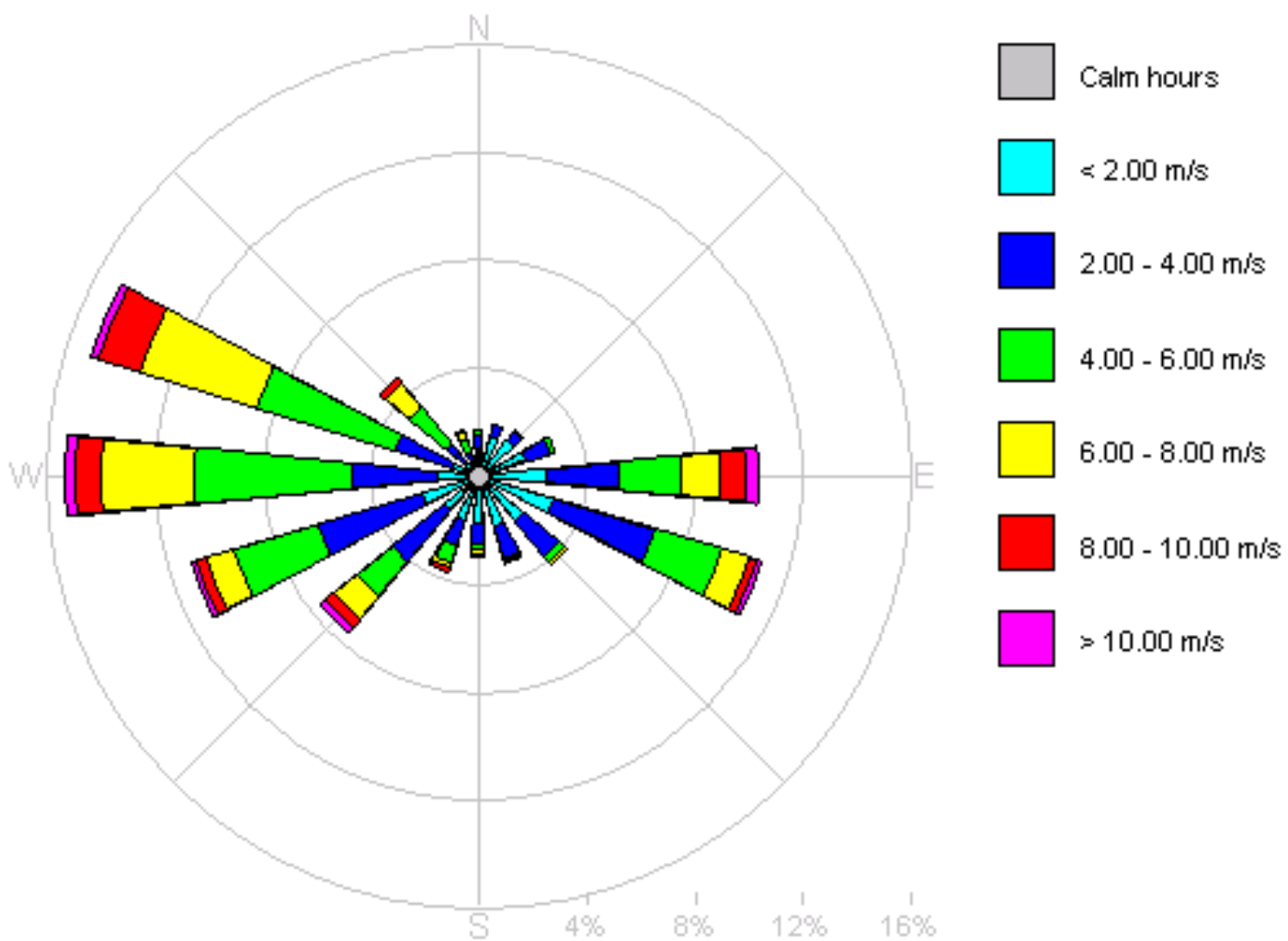


**Annexe E-6**  
**Rose des vents - Jonquière 1998**





Annexe E-6  
Rose des vents - Jonquière 1999



Annexe E-6  
Rose des vents - Jonquière 2000

